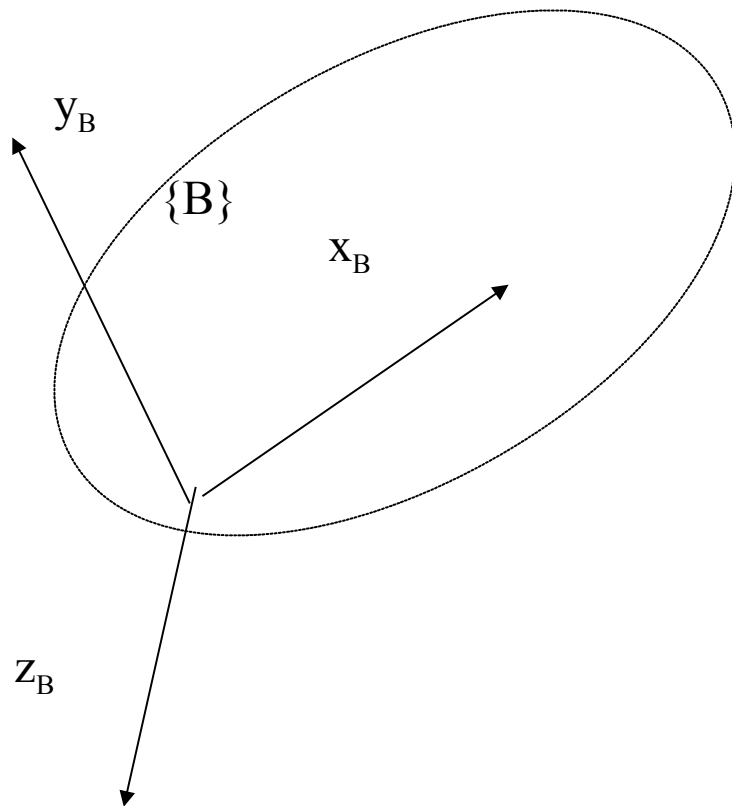
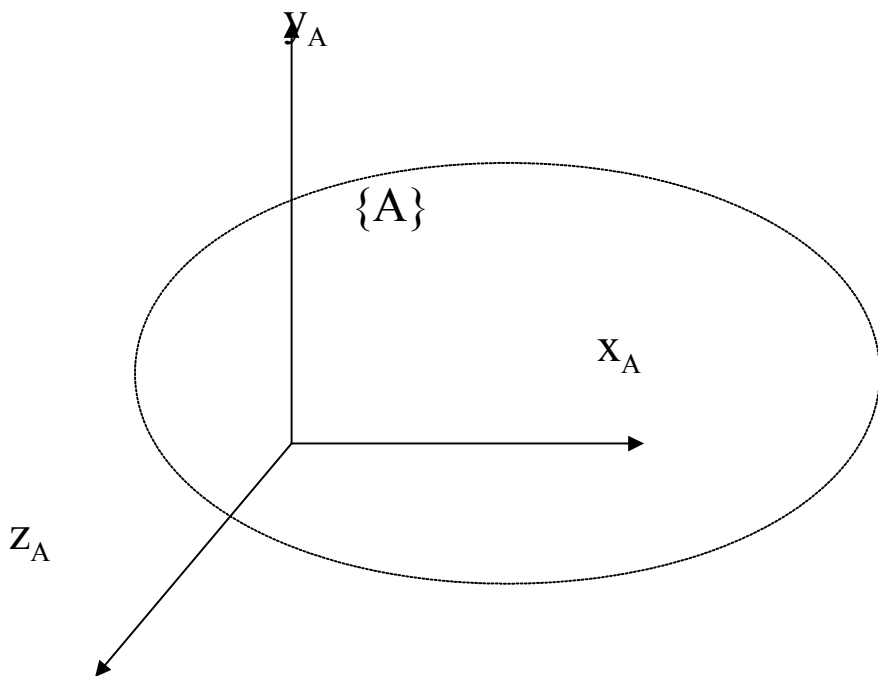


CINEMÁTICA

DESCRIÇÃO DE POSIÇÃO E ORIENTAÇÃO

Sistemas Referenciais:

- Para localizar um corpo rígido no espaço tridimensional, um sistema referencial é associado ao mesmo.
- Um referencial associado a um corpo rígido é fixo no mesmo.
- Qualquer ponto do corpo rígido possuirá coordenadas invariantes no seu referencial associado.
- referencial será identificado por uma letra entre chaves. Exemplo: $\{A\}$, $\{i\}$, etc.
- Os referenciais são definidos por três vetores unitários ortogonais.



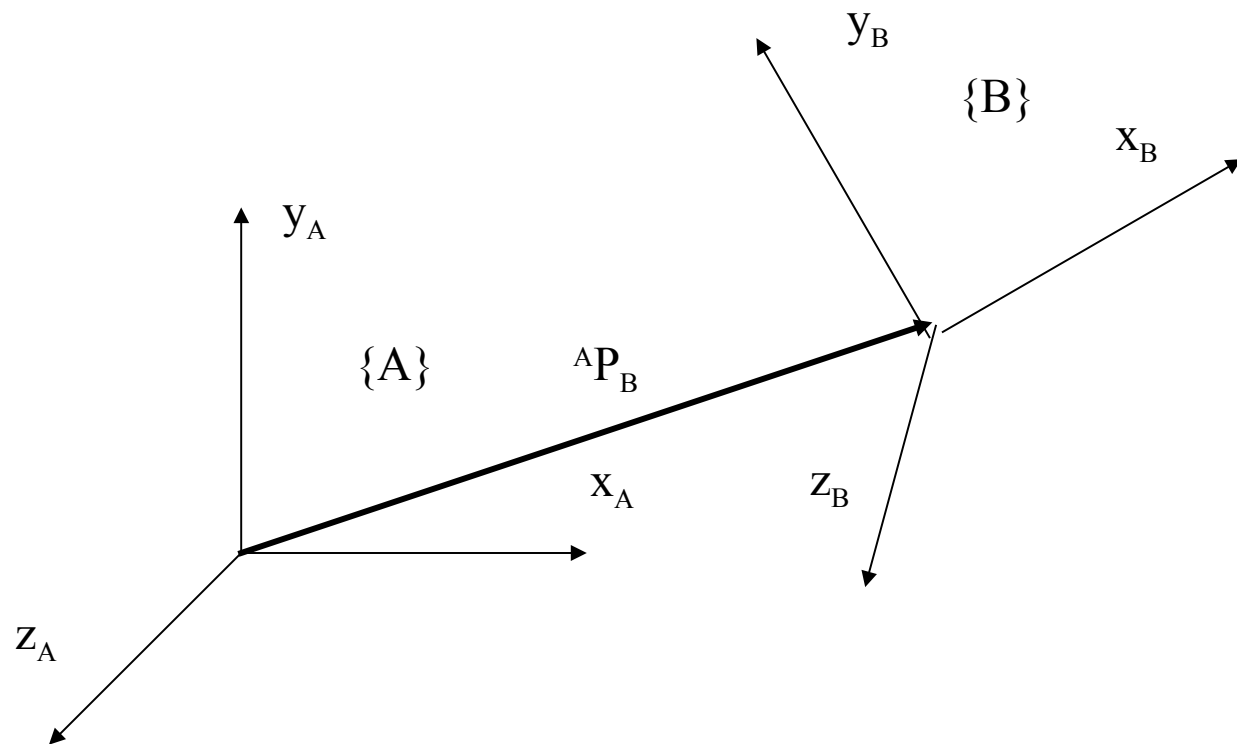
Localização de um corpo relativa a um Referencial:

- A localização de um corpo rígido B em relação a um referencial qualquer $\{A\}$ é definida pela localização do seu referencial associado $\{B\}$ em relação a $\{A\}$.
- A localização de $\{B\}$ em relação a $\{A\}$ é definida especificando:
 - a posição de $\{B\}$ em relação a $\{A\}$
 - a orientação dos eixos de $\{B\}$ em relação a os eixos de $\{A\}$.

Representação de posição de {B} relativa a {A}:

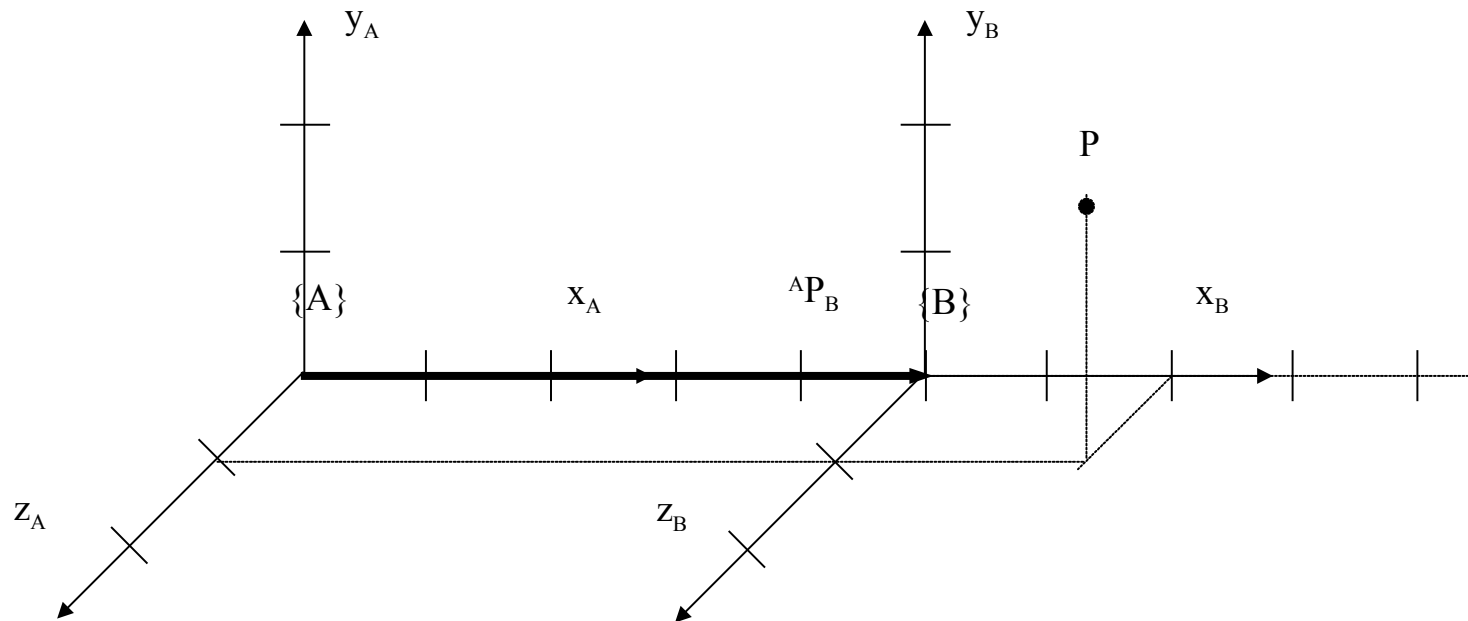
- A posição de {B} em relação a {A} é definida pelo vetor de posição ${}^A P_B$ ligando a origem de {A} à origem de {B}, expresso em coordenadas de {A}:

$${}^A P_B = \begin{bmatrix} {}^A p_{Bx} \\ {}^A p_{By} \\ {}^A p_{Bz} \end{bmatrix}$$



Exemplo:

- considere dois referenciais $\{A\}$ e $\{B\}$ com a mesma orientação, com a origem de $\{B\}$ localizada a 5 unidades ao longo do eixo x_A . Considere um ponto P , expresso em $\{B\}$ como ${}^B P = [2 \ 2 \ 1]^T$. Determine a posição de $\{B\}$ em relação a $\{A\}$ bem como a representação do ponto P em $\{A\}$.



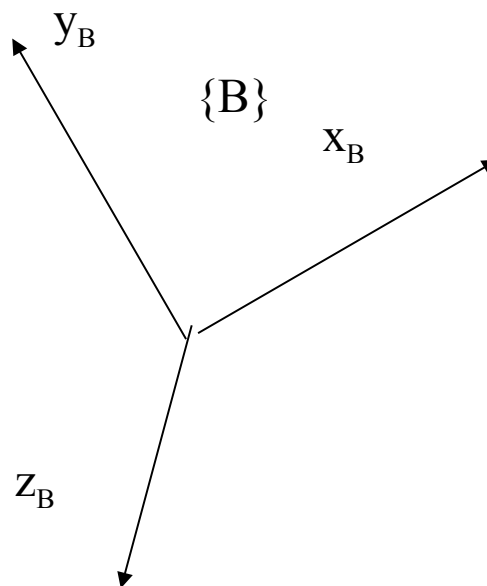
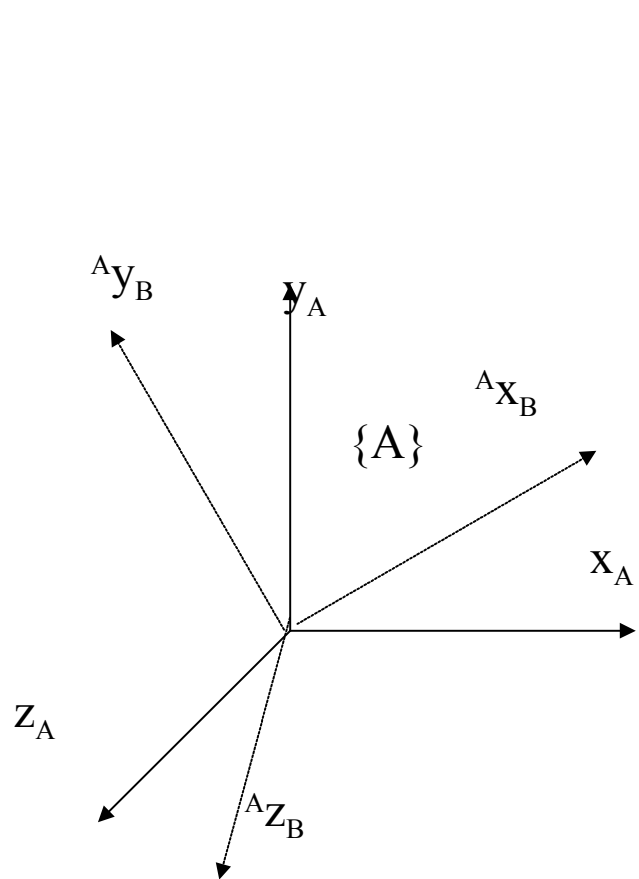
$${}^A\mathbf{P}_B = [5 \ 0 \ 0]^T$$

$${}^A\mathbf{P} = {}^A\mathbf{P}_B + {}^B\mathbf{P} = [5 \ 0 \ 0]^T + [2 \ 2 \ 1]^T = [7 \ 2 \ 1]^T$$

Representação de orientação de {B} relativa a {A}:

- A orientação de {B} em relação a {A} é definida pela matriz de rotação ${}^A R_B$ de dimensão 3x3, ortogonal, cujos vetores colunas são os eixos unitários de {B} expressos em coordenadas de {A}:

$${}^A R_B = \begin{bmatrix} {}^A x_B & {}^A y_B & {}^A z_B \end{bmatrix}$$



- ${}^A\mathbf{R}_B$ = representação redundante de orientação.
- Nove elementos com seis restrições:

$$({}^A\mathbf{x}_B)^T \cdot {}^A\mathbf{x}_B = 1 \qquad ({}^A\mathbf{y}_B)^T \cdot {}^A\mathbf{y}_B = 1 \qquad ({}^A\mathbf{z}_B)^T \cdot {}^A\mathbf{z}_B = 1$$

$$({}^A\mathbf{x}_B)^T \cdot {}^A\mathbf{y}_B = 0 \qquad ({}^A\mathbf{y}_B)^T \cdot {}^A\mathbf{z}_B = 0 \qquad ({}^A\mathbf{z}_B)^T \cdot {}^A\mathbf{x}_B = 0$$

${}^A\mathbf{R}_B$ é ortogonal:

$$({}^A\mathbf{R}_B)^{-1} = ({}^A\mathbf{R}_B)^T$$

Rotação Inversa

Dados $\{A\}$ e $\{B\}$ com mesma origem e P expresso $\{A\}$ e $\{B\}$:

$${}^A\mathbf{P} = [{}^A\mathbf{p}_x \quad {}^A\mathbf{p}_y \quad {}^A\mathbf{p}_z]^T \qquad {}^B\mathbf{P} = [{}^B\mathbf{p}_x \quad {}^B\mathbf{p}_y \quad {}^B\mathbf{p}_z]^T$$

Conhecendo ${}^B\mathbf{P}$ e ${}^A\mathbf{R}_B$, pode-se achar ${}^A\mathbf{P}$:

$${}^A\mathbf{P} = [{}^B\mathbf{x}_A^T \cdot {}^B\mathbf{P} \quad {}^B\mathbf{y}_A^T \cdot {}^B\mathbf{P} \quad {}^B\mathbf{z}_A^T \cdot {}^B\mathbf{P}]^T = [{}^B\mathbf{x}_A \quad {}^B\mathbf{y}_A \quad {}^B\mathbf{z}_A]^T \cdot {}^B\mathbf{P}$$

$$\Rightarrow \quad {}^A\mathbf{P} = {}^B\mathbf{R}_A^T \cdot {}^B\mathbf{P} = {}^A\mathbf{R}_B \cdot {}^B\mathbf{P}$$

De forma equivalente, ${}^B\mathbf{P} = {}^B\mathbf{R}_A \cdot {}^A\mathbf{P}$:

$$\Rightarrow \quad {}^A\mathbf{P} = {}^A\mathbf{R}_B \cdot {}^B\mathbf{P} = {}^A\mathbf{R}_B \cdot {}^B\mathbf{R}_A \cdot {}^A\mathbf{P} \qquad \Rightarrow \quad {}^A\mathbf{R}_B \cdot {}^B\mathbf{R}_A = \mathbf{I}$$

$$\Rightarrow \quad {}^B\mathbf{R}_A = ({}^A\mathbf{R}_B)^{-1} = ({}^A\mathbf{R}_B)^T$$

Concatenação de Rotações

Dados $\{A\}$, $\{B\}$ e $\{C\}$ com origens coincidentes:

$${}^A\mathbf{P} = {}^A\mathbf{R}_B \cdot {}^B\mathbf{P},$$

$${}^B\mathbf{P} = {}^B\mathbf{R}_C \cdot {}^C\mathbf{P},$$

$${}^A\mathbf{P} = {}^A\mathbf{R}_C \cdot {}^C\mathbf{P}$$

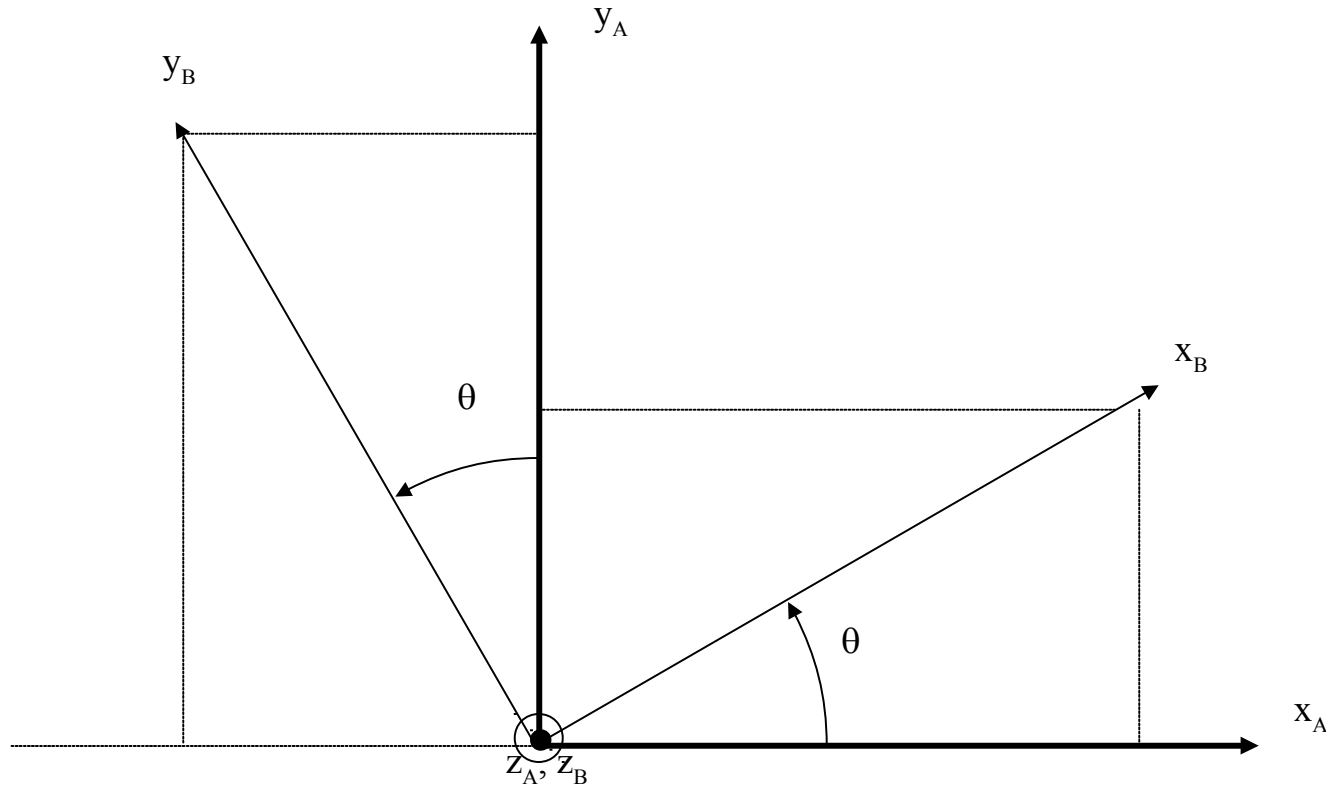
$$\Rightarrow {}^A\mathbf{P} = {}^A\mathbf{R}_B \cdot {}^B\mathbf{R}_C \cdot {}^C\mathbf{P} \Rightarrow {}^A\mathbf{R}_C = {}^A\mathbf{R}_B \cdot {}^B\mathbf{R}_C$$

Matriz de cossenos diretores

$${}^A\mathbf{R}_B = {}^A\mathbf{R}_C \cdot {}^C\mathbf{R}_B = ({}^C\mathbf{R}_A)^T \cdot {}^C\mathbf{R}_B:$$

$${}^A\mathbf{R}_B = \begin{bmatrix} ({}^C\mathbf{x}_A)^T \cdot {}^C\mathbf{x}_B & ({}^C\mathbf{x}_A)^T \cdot {}^C\mathbf{y}_B & ({}^C\mathbf{x}_A)^T \cdot {}^C\mathbf{z}_B \\ ({}^C\mathbf{y}_A)^T \cdot {}^C\mathbf{x}_B & ({}^C\mathbf{y}_A)^T \cdot {}^C\mathbf{y}_B & ({}^C\mathbf{y}_A)^T \cdot {}^C\mathbf{z}_B \\ ({}^C\mathbf{z}_A)^T \cdot {}^C\mathbf{x}_B & ({}^C\mathbf{z}_A)^T \cdot {}^C\mathbf{y}_B & ({}^C\mathbf{z}_A)^T \cdot {}^C\mathbf{z}_B \end{bmatrix}$$

Exemplo: sejam $\{A\}$ e $\{B\}$ coincidentes. Suponha que $\{B\}$ gira um ângulo θ em torno ${}^A Z_B$. Encontre ${}^A R_B = R(z, \theta)$:



$${}^A x_B = [\cos(\theta) \quad \sin(\theta) \quad 0]^T$$

$${}^A y_B = [-\sin(\theta) \quad \cos(\theta) \quad 0]^T$$

$${}^A z_B = [0 \quad 0 \quad 1]^T$$

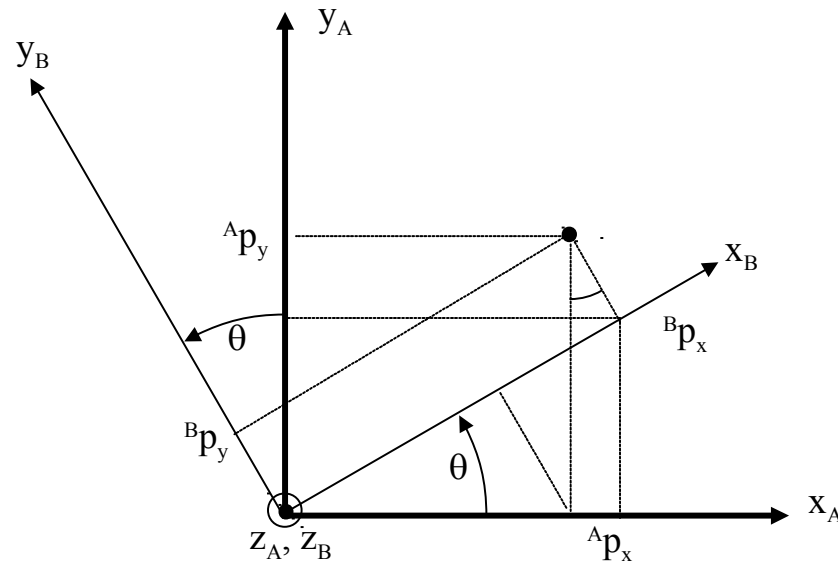
Rotações em torno dos eixos x, y, z

$${}^A R_B = R(z, \theta) = \begin{bmatrix} \cos(\theta) & -\text{sen}(\theta) & 0 \\ \text{sen}(\theta) & \cos(\theta) & 0 \\ 0 & 0 & 1 \end{bmatrix}$$

$${}^A R_B = R(x, \theta) = \begin{bmatrix} 1 & 0 & 0 \\ 0 & \cos(\theta) & -\text{sen}(\theta) \\ 0 & \text{sen}(\theta) & \cos(\theta) \end{bmatrix}$$

$${}^A R_B = R(y, \theta) = \begin{bmatrix} \cos(\theta) & 0 & \text{sen}(\theta) \\ 0 & 1 & 0 \\ -\text{sen}(\theta) & 0 & \cos(\theta) \end{bmatrix}$$

Exemplo: sejam $\{A\}$ e $\{B\}$ coincidentes, . Suponha que $\{B\}$ gira θ em torno de ${}^A Z_B$. Dado P expresso em $\{B\}$, (${}^B P$), Ache ${}^A P$:



$${}^A p_x = {}^B p_x \cdot \cos(\theta) - {}^B p_y \cdot \sin(\theta)$$

$${}^A p_y = {}^B p_x \cdot \sin(\theta) + {}^B p_y \cdot \cos(\theta)$$

$${}^A p_z = {}^B p_z$$

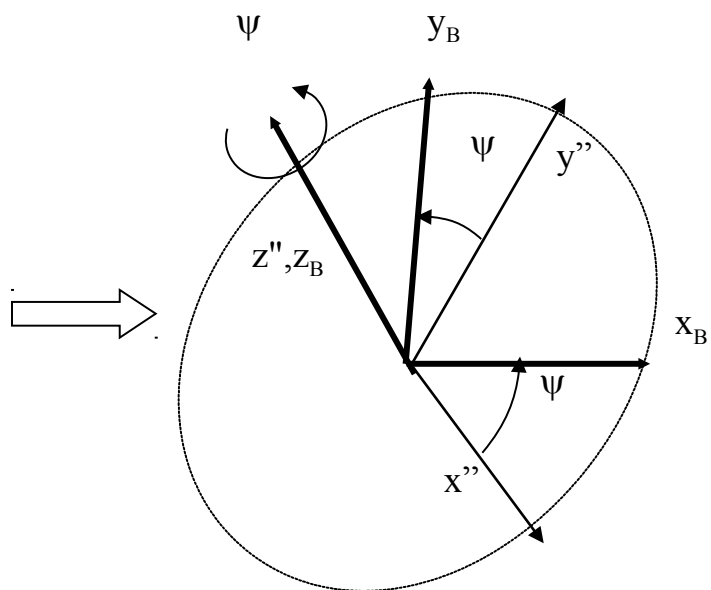
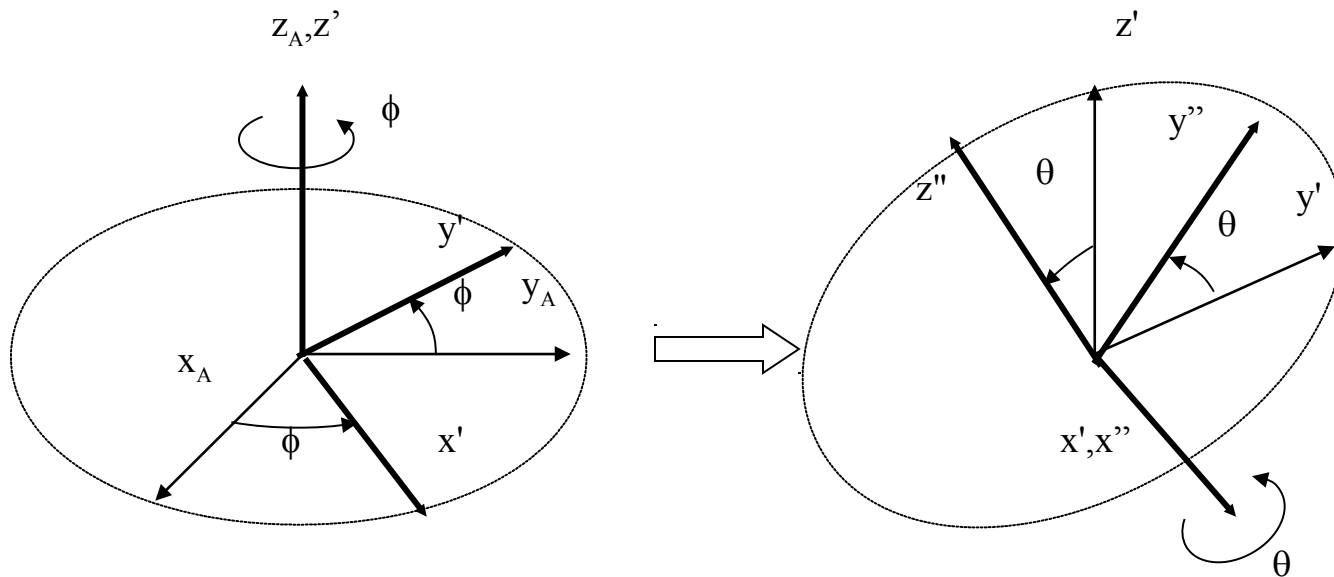
Outras representações de orientação:

- ${}^A R_B$ = representação redundante da orientação.
 - Nove elementos e seis relações de dependência.
- ⇒ Três parâmetros são suficientes para especificar orientação.
- Vários esquemas:
 - Ângulos de Euler.
 - Ângulos (*Roll*, *Pitch*, *Yaw*).
 - Ângulo-Eixo equivalente.

Ângulos de Euler ZXZ:

- Ângulos de rotação (ϕ , θ , ψ) em torno de z, x e z de um referencial móvel, inicialmente coincidente com $\{A\}$ e alinhado com $\{B\}$ após as três rotações.
- Matriz de rotação equivalente:

$$R_{\phi\theta\psi} = R(z,\phi).R(x,\theta).R(z,\psi)$$



$$R_{\phi\theta\psi} = \begin{bmatrix} c\phi & -s\phi & 0 \\ s\phi & c\phi & 0 \\ 0 & 0 & 1 \end{bmatrix} \begin{bmatrix} 1 & 0 & 0 \\ 0 & c\theta & -s\theta \\ 0 & s\theta & c\theta \end{bmatrix} \begin{bmatrix} c\psi & -s\psi & 0 \\ s\psi & c\psi & 0 \\ 0 & 0 & 1 \end{bmatrix}$$

$$\Rightarrow R_{\phi\theta\psi} = \begin{bmatrix} (c\phi.c\psi - s\phi.c\theta.s\psi) & (-c\phi.s\psi - s\phi.c\theta.c\psi) & (s\phi.s\theta) \\ (s\phi.c\psi + c\phi.c\theta.s\psi) & (-s\phi.s\psi + c\phi.c\theta.c\psi) & (-c\phi.s\theta) \\ (s\theta.s\psi) & (s\theta.c\psi) & (c\theta) \end{bmatrix}$$

Dada $R_{\phi\theta\psi}$, encontrar os ângulos de Euler ZXZ:

$$\theta = \text{atan2}(\pm[R_{31}^2 + R_{32}^2]^{1/2}, R_{33})$$

$$\phi = \text{atan2}(R_{13}/\text{sen}(\theta), -R_{23}/\text{sen}(\theta))$$

$$\psi = \text{atan2}(R_{31}/\text{sen}(\theta), R_{32}/\text{sen}(\theta))$$

Onde: $\text{atan2}(b, a) = \arg(a + j.b)$

$\theta = \text{atan2}(\text{sen}(\theta), \cos(\theta)) = \text{atan2}(k.\text{sen}(\theta), k.\cos(\theta))$, com $k > 0$.

Considerações:

- A solução não é única (depende do sinal da raiz).
- Dois conjuntos de soluções:
 - Sinal positivo $\Rightarrow 0 \leq \theta \leq \pi$.
 - Sinal negativo $\Rightarrow -\pi \leq \theta \leq 0$.
- Para $\theta = 0$ ou $\theta = \pi$, a solução degenera (divisão por zero).
- Infinitas soluções \Rightarrow rotações ϕ e ψ em torno do mesmo eixo.

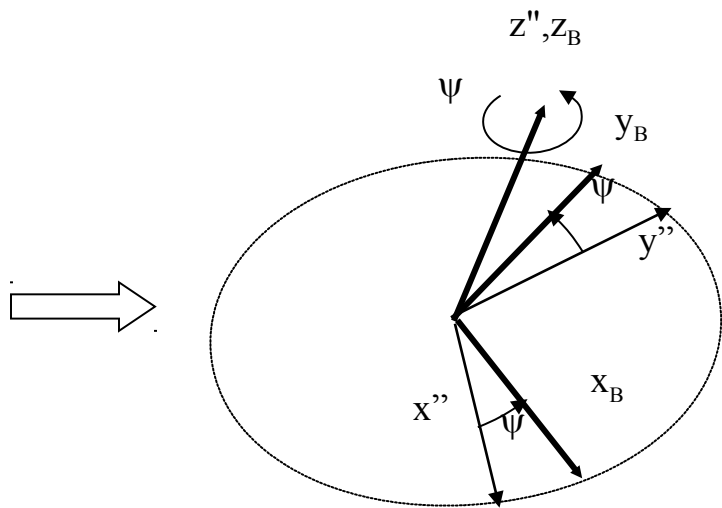
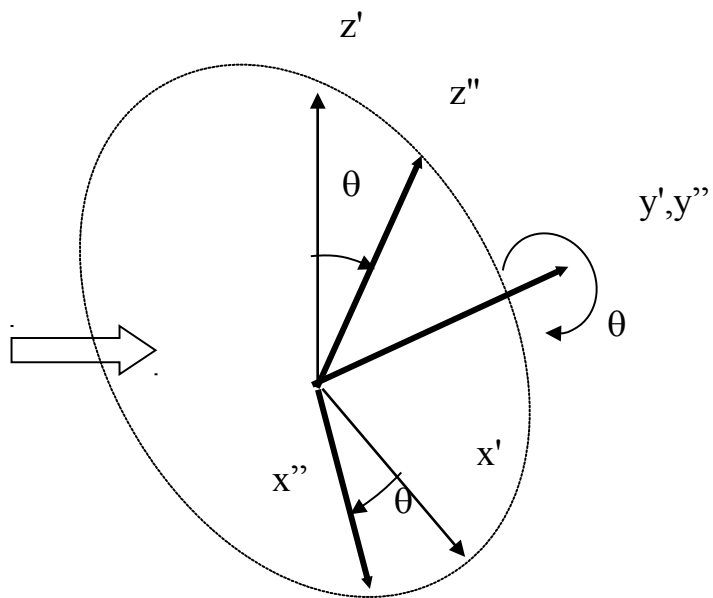
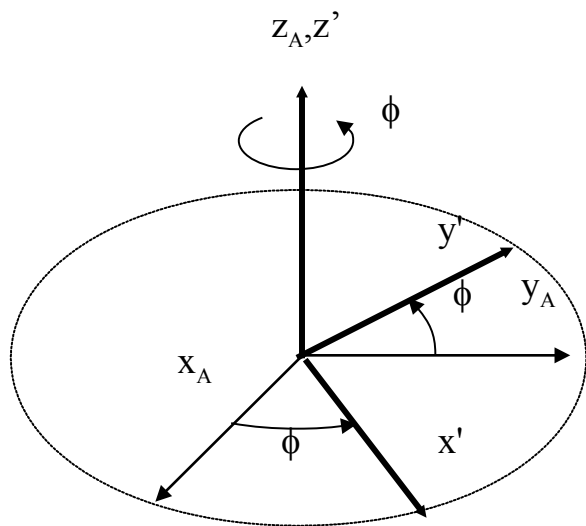
$$\text{Para } \theta = 0 \quad \Rightarrow \quad \phi + \psi = \text{atan2}(R_{21}, R_{11})$$

$$\text{Para } \theta = \pi \quad \Rightarrow \quad \phi - \psi = \text{atan2}(R_{21}, R_{11})$$

Ângulos de Euler ZYZ:

- Ângulos de rotação (ϕ , θ , ψ) em torno de z, y e z de um referencial móvel, inicialmente coincidente com $\{A\}$ e alinhado com $\{B\}$ após as três rotações.
- Matriz de rotação equivalente:

$$R_{\phi\theta\psi} = R(z,\phi).R(y,\theta).R(z,\psi)$$



$$R_{\phi\theta\psi} = \begin{bmatrix} c\phi & -s\phi & 0 \\ s\phi & c\phi & 0 \\ 0 & 0 & 1 \end{bmatrix} \begin{bmatrix} c\theta & 0 & s\theta \\ 0 & 1 & 0 \\ -s\theta & 0 & c\theta \end{bmatrix} \begin{bmatrix} c\psi & -s\psi & 0 \\ s\psi & c\psi & 0 \\ 0 & 0 & 1 \end{bmatrix}$$

$$\Rightarrow R_{\phi\theta\psi} = \begin{bmatrix} (c\phi.c\theta.c\psi - s\phi.s\psi) & (-c\phi.c\theta.s\psi - s\phi.c\psi) & (c\phi.s\theta) \\ (s\phi.c\theta.c\psi + c\phi.s\psi) & (-s\phi.c\theta.s\psi + c\phi.c\psi) & (s\phi.s\theta) \\ (-s\theta.c\psi) & (s\theta.s\psi) & (c\theta) \end{bmatrix}$$

Dada $R_{\phi\theta\psi}$, encontrar os ângulos de Euler ZYZ:

$$\theta = \text{atan2}(\pm[R_{31}^2 + R_{32}^2]^{1/2}, R_{33})$$

$$\phi = \text{atan2}(R_{23}/\text{sen}(\theta), R_{13}/\text{sen}(\theta))$$

$$\psi = \text{atan2}(R_{32}/\text{sen}(\theta), -R_{31}/\text{sen}(\theta))$$

Considerações:

- A solução não é única (depende do sinal da raiz).
- Dois conjuntos de soluções:
 - Sinal positivo $\Rightarrow 0 \leq \theta \leq \pi$.
 - Sinal negativo $\Rightarrow -\pi \leq \theta \leq 0$.
- Para $\theta = 0$ ou $\theta = \pi$, a solução degenera (divisão por zero).
- Infinitas soluções \Rightarrow rotações ϕ e ψ em torno do mesmo eixo.

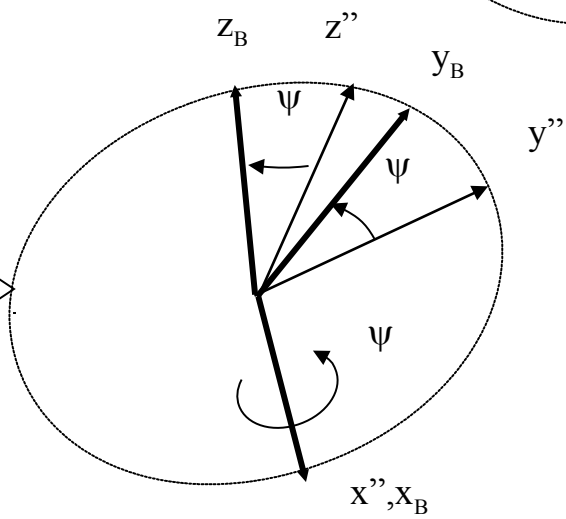
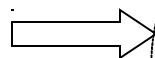
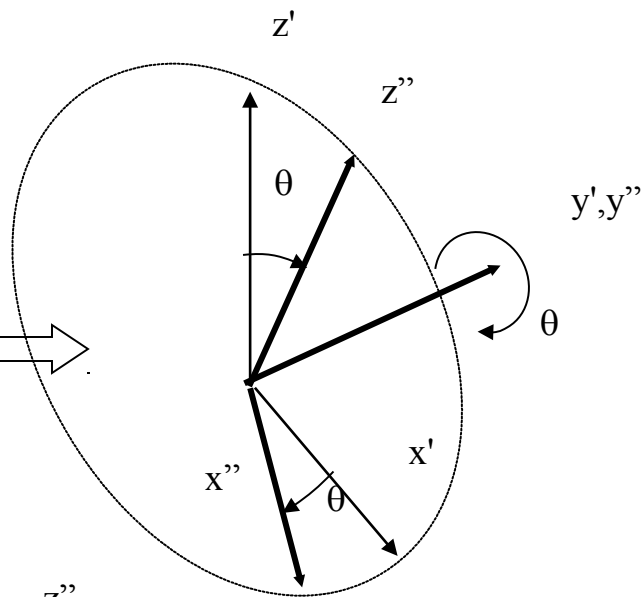
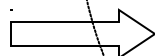
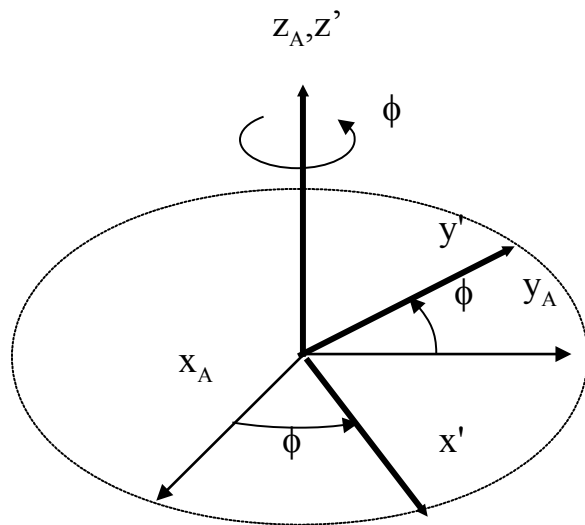
$$\text{Para } \theta = 0 \quad \Rightarrow \quad \psi + \phi = \text{atan2}(R_{21}, R_{11})$$

$$\text{Para } \theta = \pi \quad \Rightarrow \quad \psi - \phi = \text{atan2}(R_{21}, -R_{11})$$

Ângulos de Euler ZYX:

- Ângulos de rotação (ϕ , θ , ψ) em torno de z, y e x de um referencial móvel, inicialmente coincidente com $\{A\}$ e alinhado com $\{B\}$ após as três rotações.
- Matriz de rotação equivalente:

$$R_{\phi\theta\psi} = R(z,\phi).R(y,\theta).R(x,\psi)$$



$$\mathbf{R}_{\phi\theta\psi} = \begin{bmatrix} c\phi & -s\phi & 0 \\ s\phi & c\phi & 0 \\ 0 & 0 & 1 \end{bmatrix} \begin{bmatrix} c\theta & 0 & s\theta \\ 0 & 1 & 0 \\ -s\theta & 0 & c\theta \end{bmatrix} \begin{bmatrix} 1 & 0 & 0 \\ 0 & c\psi & -s\psi \\ 0 & s\psi & c\psi \end{bmatrix}$$

$$\Rightarrow \mathbf{R}_{\phi\theta\psi} = \begin{bmatrix} (c\phi.c\theta) & (c\phi.s\theta.s\psi - s\phi.c\psi) & (c\phi.s\theta.c\psi + s\phi.s\psi) \\ (s\phi.c\theta) & (s\phi.s\theta.s\psi + c\phi.c\psi) & (s\phi.s\theta.c\psi - c\phi.s\psi) \\ (-s\theta) & (c\theta.s\psi) & (c\theta.c\psi) \end{bmatrix}$$

Dada $R_{\phi\theta\psi}$, encontrar os ângulos de Euler ZYX:

$$\theta = \text{atan2}(-R_{31}, \pm[R_{32}^2 + R_{33}^2]^{1/2})$$

$$\phi = \text{atan2}(R_{21}/\cos(\theta), R_{11}/\cos(\theta))$$

$$\psi = \text{atan2}(R_{32}/\cos(\theta), R_{33}/\cos(\theta))$$

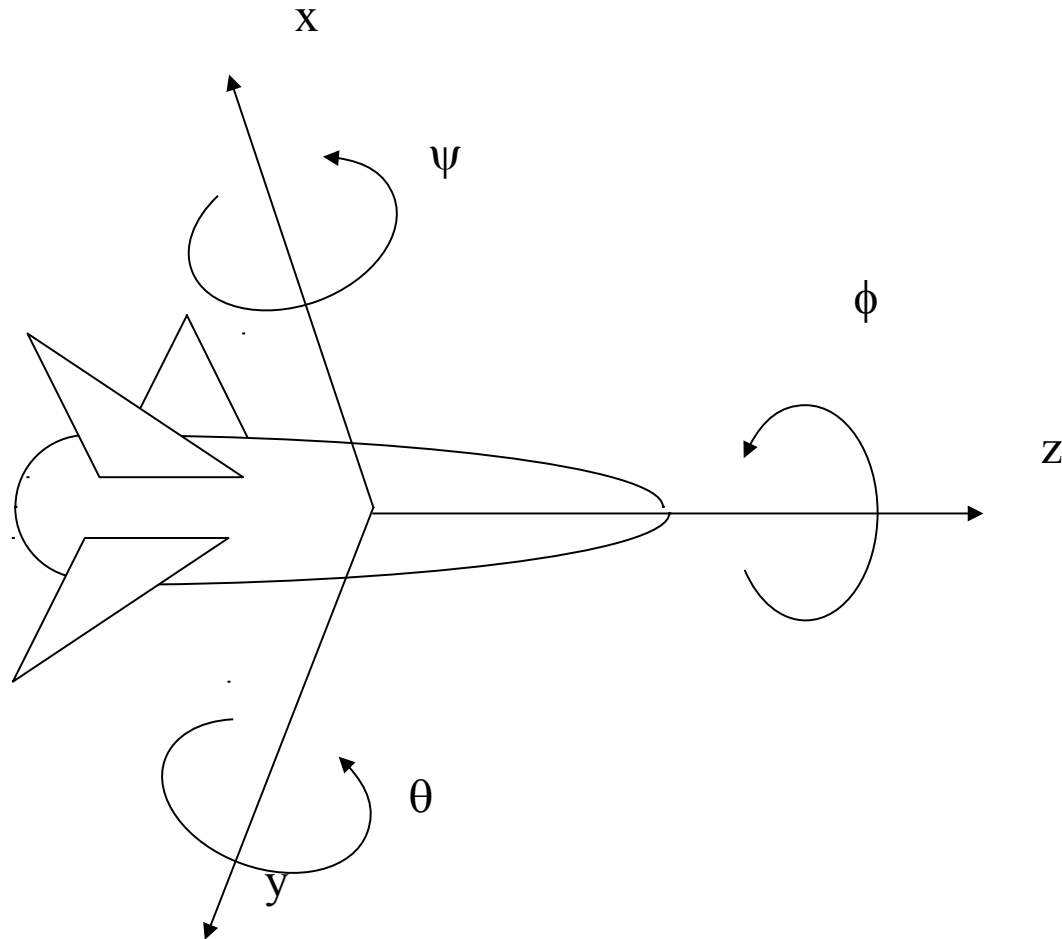
Considerações:

- A solução não é única (depende do sinal da raiz).
- Dois conjuntos de soluções:
 - Sinal positivo $\Rightarrow -\pi/2 \leq \theta \leq \pi/2$.
 - Sinal negativo $\Rightarrow \pi/2 \leq \theta \leq 3\pi/2$.
- Para $\theta = -\pi/2$ ou $\theta = \pi/2$, a solução degenera (divisão por zero).
- Infinitas soluções \Rightarrow rotações ϕ e ψ em torno do mesmo eixo.

$$\text{Para } \theta = -\pi/2 \Rightarrow \psi + \phi = \text{atan2}(-R_{12}, R_{22})$$

$$\text{Para } \theta = \pi/2 \Rightarrow (\psi - \phi) = \text{atan2}(R_{12}, R_{22})$$

Ângulos de Euler ZYX:
Ângulos de Rolamento, Lançamento e Guinada
(*Roll, Pitch, Yaw*)



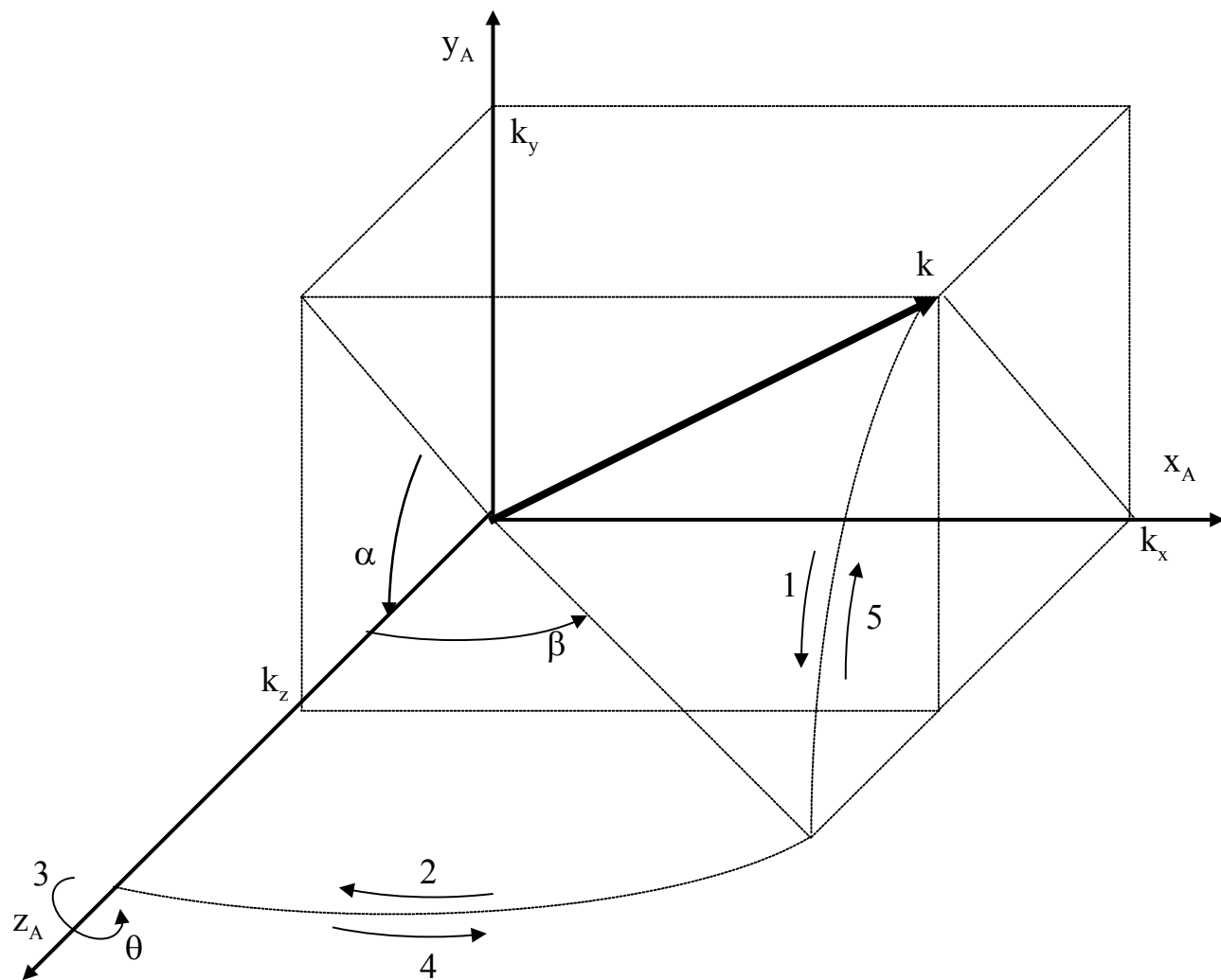
Representação equivalente Ângulo/Eixo :

- Representação redundante de orientação.
- Quatro parâmetros:
 - Componentes (k_x, k_y, k_z) de um eixo unitário k .
 - Ângulo de rotação θ em torno do eixo k .

$\forall \theta$ pode ser codificado no módulo do vetor k (não unitário)
 \Rightarrow três parâmetros (representação não redundante).

$R_{k\theta}$ equivalente obtida a partir de (k_x, k_y, k_z, θ) :

- Alinhar k com z_A girando α em torno de x_A e $-\beta$ em torno de y_A .
- Girar θ em torno de z_A (coincidente com k).
- Retornar k ao seu alinhamento original girando β em torno de y_A e α em torno de x_A .



Matriz de Rotação Equivalente a Ângulo/Eixo

$$R_{k\theta} = R(x, -\alpha) \cdot R(y, \beta) \cdot R(z, \theta) \cdot R(y, -\beta) \cdot R(x, \alpha)$$

$$\Rightarrow R_{k\theta} = \begin{bmatrix} 1 & 0 & 0 \\ 0 & c\alpha & s\alpha \\ 0 & -s\alpha & c\alpha \end{bmatrix} \begin{bmatrix} c\beta & 0 & s\beta \\ 0 & 1 & 0 \\ -s\beta & 0 & c\beta \end{bmatrix} \begin{bmatrix} c\theta & -s\theta & 0 \\ c\theta & s\theta & 0 \\ 0 & 0 & 1 \end{bmatrix} \begin{bmatrix} c\beta & 0 & -s\beta \\ 0 & 1 & 0 \\ s\beta & 0 & c\beta \end{bmatrix} \begin{bmatrix} 1 & 0 & 0 \\ 0 & c\alpha & -s\alpha \\ 0 & s\alpha & c\alpha \end{bmatrix}$$

Definindo $v\theta = \text{vers}(\theta) = 1 - \cos(\theta)$

Substituindo os termos em α e β por:

$$s\alpha = k_y/[k_y^2 + k_z^2]^{1/2}$$

$$c\alpha = k_z/[k_y^2 + k_z^2]^{1/2}$$

$$s\beta = k_x$$

$$c\beta = [k_y^2 + k_z^2]^{1/2}$$

$$\Rightarrow R_{k\theta} = \begin{bmatrix} (k_x^2.v\theta + c\theta) & (k_x.k_y.v\theta - k_z.s\theta) & (k_x.k_z.v\theta + k_y.s\theta) \\ (k_x.k_y.v\theta + k_z.s\theta) & (k_y^2.v\theta + c\theta) & (k_y.k_z.v\theta - k_x.s\theta) \\ (k_x.k_z.v\theta - k_y.s\theta) & (k_y.k_z.v\theta + k_x.s\theta) & (k_z^2.v\theta + c\theta) \end{bmatrix}$$

- A partir dos elementos da $R_{k\theta}$, pode-se obter k e θ .
- Duas soluções possíveis: (k, θ) e $(-k, -\theta)$.
- Para $0 \leq \theta \leq \pi$:

$$\theta = \cos^{-1}((R_{11}+R_{22}+R_{33}-1)/2)$$

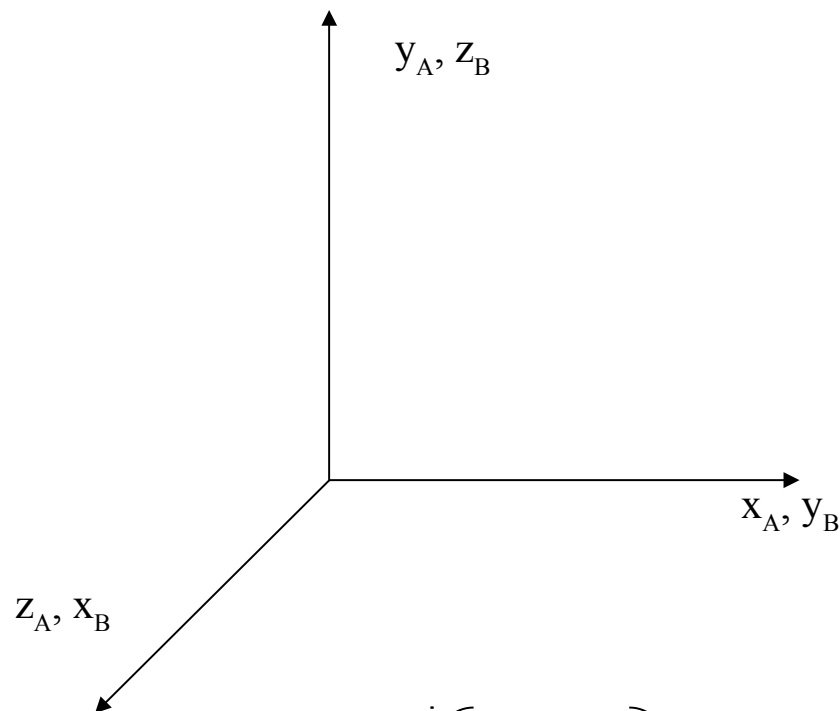
$$k_x = (R_{32}-R_{23})/(2.s\theta)$$

$$k_y = (R_{13}-R_{31})/(2.s\theta)$$

$$k_z = (R_{21}-R_{12})/(2.s\theta)$$

- Para $\theta = 0$ ou $\theta = \pi$, a solução degenera (divisão por zero).
 \Rightarrow infinitas soluções (k torna-se indefinido).

Exemplo: dados $\{A\}$ e $\{B\}$, obtenha ${}^A R_B$, os ângulos de Euler ZXZ, ZYZ, ZYX e a representação em ângulo/eixo.



$${}^A R_B = \begin{pmatrix} 0 & 1 & 0 \\ 0 & 0 & 1 \\ 1 & 0 & 0 \end{pmatrix}$$

Os ângulos de Euler ZXZ são dados por:

$$\phi = \text{atan2}(R_{13}, -R_{23}) = \text{atan2}(0, -1) = \pi$$

$$\theta = \text{atan2}([R_{31}^2 + R_{32}^2]^{1/2}, R_{33}) = \text{atan2}(1, 0) = \pi/2$$

$$\psi = \text{atan2}(R_{31}, R_{32}) = \pi/2$$

Os ângulos de Euler ZYZ são dados por:

$$\phi = \text{atan2}(R_{23}, R_{13}) = \text{atan2}(1, 0) = \pi/2$$

$$\theta = \text{atan2}([R_{31}^2 + R_{32}^2]^{1/2}, R_{33}) = \text{atan2}(1, 0) = \pi/2$$

$$\psi = \text{atan2}(R_{32}, -R_{31}) = \text{atan2}(0, -1) = \pi$$

Para os ângulos de Euler ZYX, $\phi = \text{atan2}(R_{21}, R_{11}) = \text{atan2}(0, 0)$ (indefinido):

$$\theta = \text{atan2}(-R_{31}, [R_{32}^2 + R_{33}^2]^{1/2}) = \text{atan2}(-1, 0) = -\pi/2$$

$$\psi + \phi = \text{atan2}(-R_{12}, R_{22}) = \text{atan2}(-1, 0) = -\pi/2$$

A representação equivalente Ângulo/Eixo é dada por:

$$\theta = \cos^{-1}((R_{11} + R_{22} + R_{33} - 1)/2) = \cos^{-1}(-1/2) = 2\pi/3$$

$$k_x = (R_{32} - R_{23})/(2 \cdot \sin \theta) = -(1/3)^{1/2}$$

$$k_y = (R_{13} - R_{31})/(2 \cdot \sin \theta) = -(1/3)^{1/2}$$

$$k_z = (R_{21} - R_{12})/(2 \cdot \sin \theta) = -(1/3)^{1/2}$$

Transformações Homogêneas:

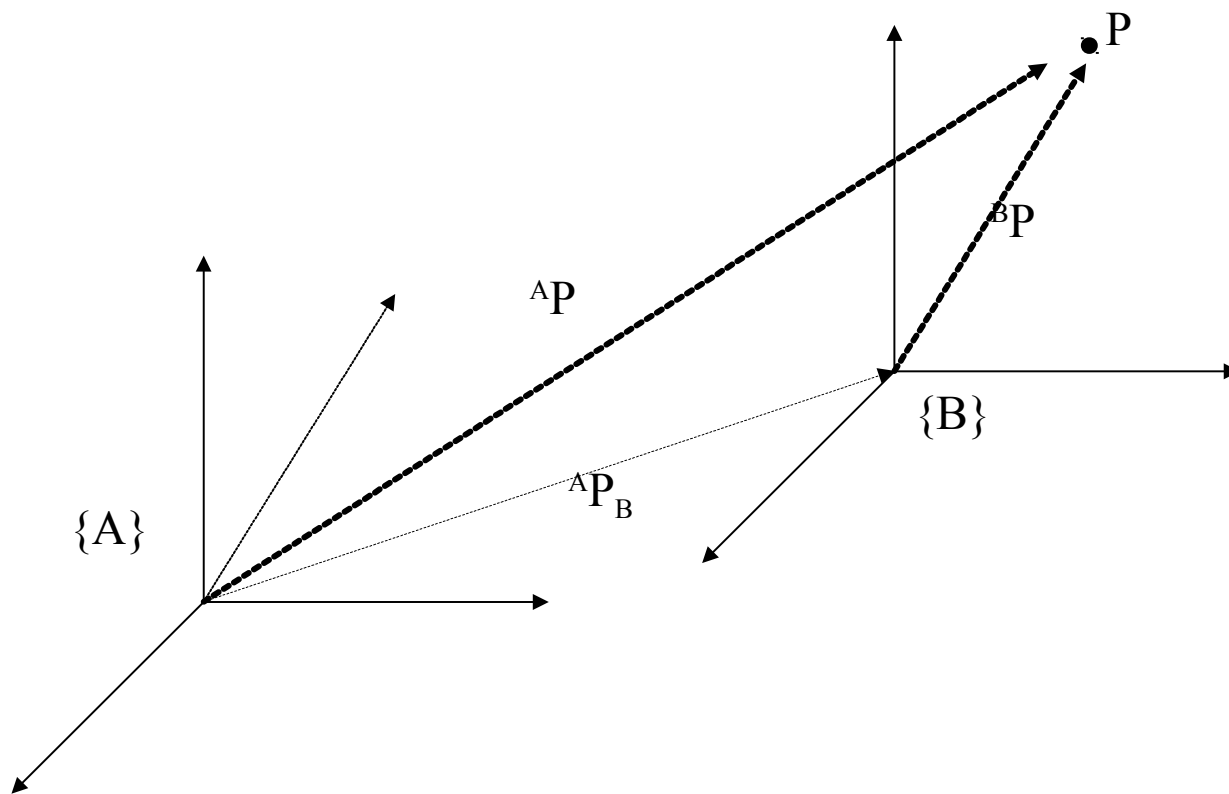
Mapeamentos:

- Dados $\{A\}$ e $\{B\}$ e um ponto P , conhecendo ${}^B P$ em $\{B\}$, conhecendo ${}^A P_B$ e ${}^A R_B$, pode-se obter ${}^A P$ em $\{A\}$ através de um mapeamento de ${}^B P$ para ${}^A P$.

Mapeamento de Translação: (${}^U P_A \neq {}^U P_B$, ${}^U R_A = {}^U R_B$)

- Como $\{A\}$ e $\{B\}$ possuem a mesma orientação, as coordenadas de P em $\{A\}$ podem ser expressas diretamente como a soma vetorial:

$${}^A P = {}^B P + {}^A P_B$$



Mapeamento de Rotação: (${}^U\mathbf{P}_A = {}^U\mathbf{P}_B, {}^UR_A \neq {}^UR_B$)

- Como $\{A\}$ e $\{B\}$ possuem a mesma origem, as coordenadas de P em $\{A\}$ podem ser expressas como a projeção de ${}^B\mathbf{P}$ nos eixos de $\{A\}$:

$${}^A\mathbf{p}_x = {}^B\mathbf{x}_A^T \cdot {}^B\mathbf{P}$$

$${}^A\mathbf{p}_y = {}^B\mathbf{y}_A^T \cdot {}^B\mathbf{P}$$

$${}^A\mathbf{p}_z = {}^B\mathbf{z}_A^T \cdot {}^B\mathbf{P}$$

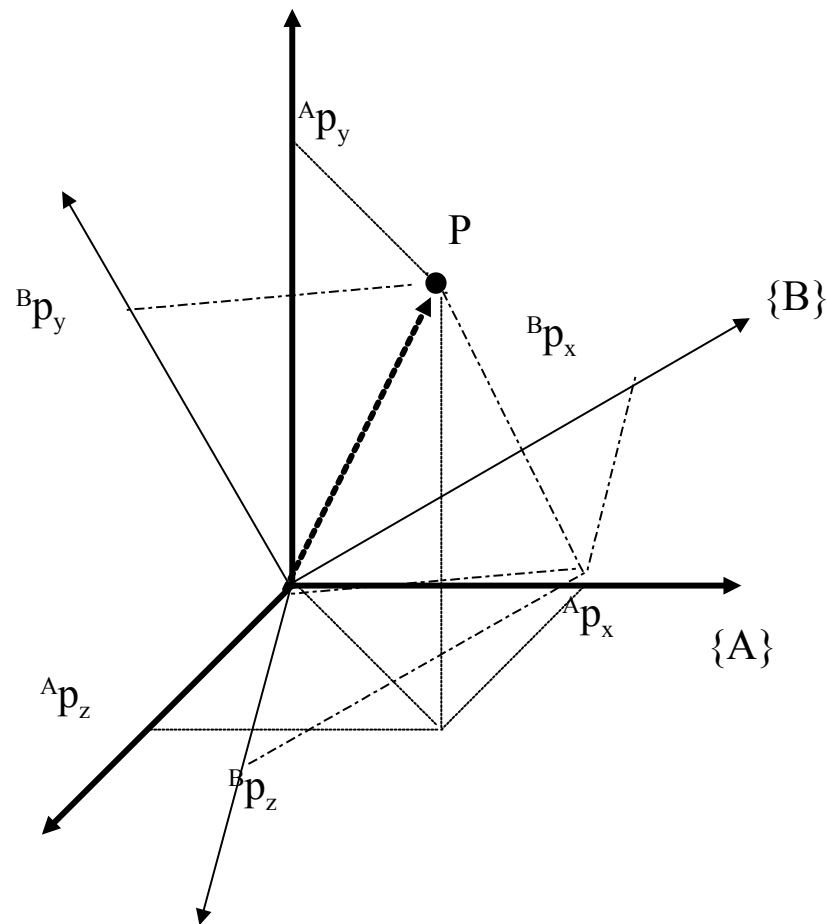
ou, matricialmente,

$${}^A\mathbf{P} = [{}^B\mathbf{x}_A^T \cdot {}^B\mathbf{P} \quad {}^B\mathbf{y}_A^T \cdot {}^B\mathbf{P} \quad {}^B\mathbf{z}_A^T \cdot {}^B\mathbf{P}]^T = [{}^B\mathbf{x}_A \quad {}^B\mathbf{y}_A \quad {}^B\mathbf{z}_A]^T \cdot {}^B\mathbf{P} \Rightarrow {}^A\mathbf{P} = {}^B\mathbf{R}_A^T \cdot {}^B\mathbf{P}$$

Mas, como ${}^B\mathbf{R}_A$ é uma matriz ortogonal, ${}^B\mathbf{R}_A^T = {}^B\mathbf{R}_A^{-1} = {}^A\mathbf{R}_B$

$$\Rightarrow {}^A\mathbf{P} = {}^A\mathbf{R}_B \cdot {}^B\mathbf{P}$$

Mapeamento de Rotação



Mapeamento Geral: (${}^U\mathbf{P}_A \neq {}^U\mathbf{P}_B$, ${}^U\mathbf{R}_A \neq {}^U\mathbf{R}_B$)

- Composição de rotação e translação.
- Rotação: $\{B\} \Rightarrow \{I\}$ (tal que ${}^U\mathbf{P}_I = {}^U\mathbf{P}_B$ e ${}^U\mathbf{R}_I = {}^U\mathbf{R}_A$).

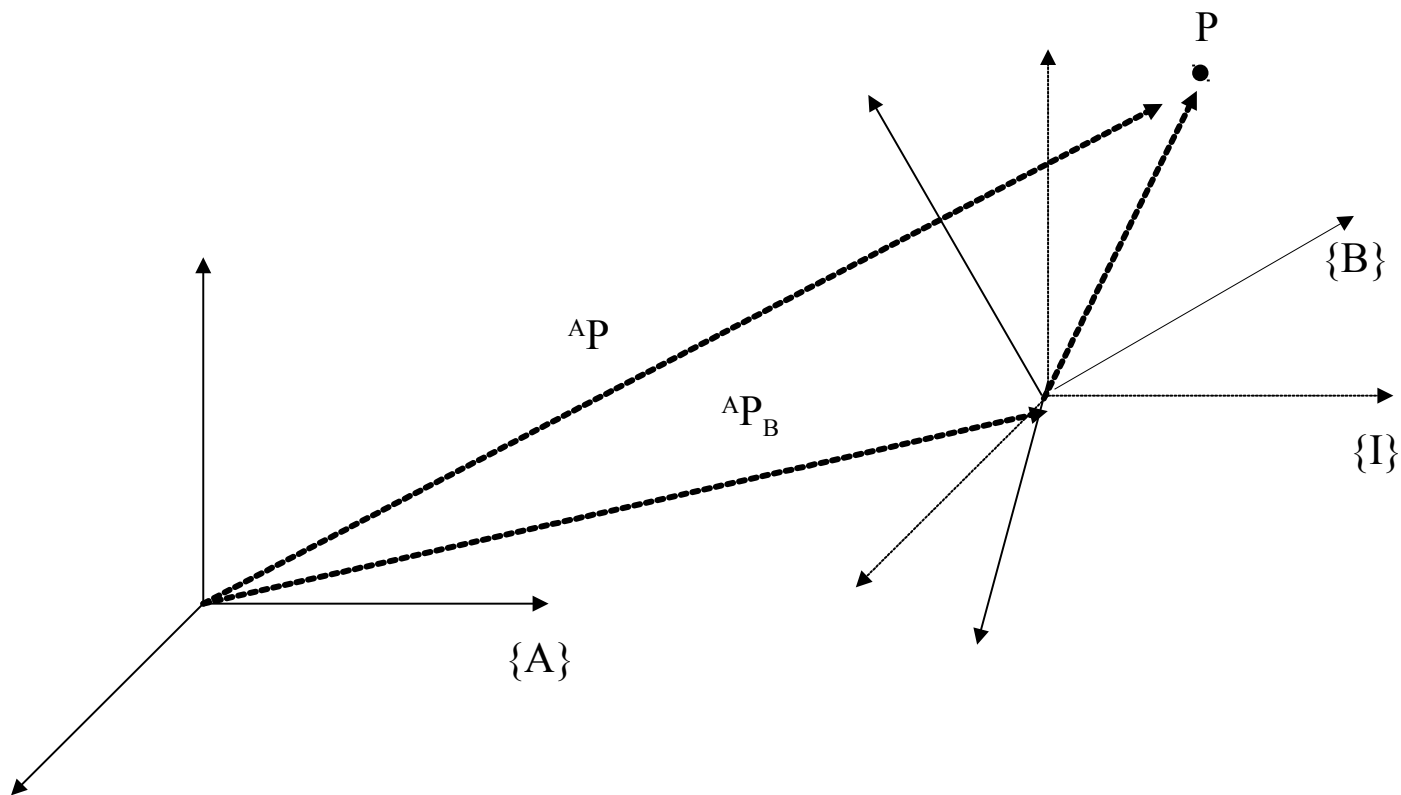
$$\Rightarrow {}^I\mathbf{P} = {}^I\mathbf{R}_B \cdot {}^B\mathbf{P} = {}^A\mathbf{R}_B \cdot {}^B\mathbf{P}$$

- Translação: $\{I\} \Rightarrow \{A\}$

$$\Rightarrow {}^A\mathbf{P} = {}^I\mathbf{P} + {}^I\mathbf{P}_B = {}^I\mathbf{P} + {}^A\mathbf{P}_B$$

- Mapeamento geral: ${}^A\mathbf{P} = {}^A\mathbf{R}_B \cdot {}^B\mathbf{P} + {}^A\mathbf{P}_B$

Mapeamento Geral



Transformação Homogênea:

- O mapeamento geral pode ser representado matricialmente:

$$\begin{bmatrix} {}^A P \\ 1 \end{bmatrix} = \begin{bmatrix} {}^A R_B & {}^A P_B \\ 0 & 0 & 0 & 1 \end{bmatrix} \cdot \begin{bmatrix} {}^B P \\ 1 \end{bmatrix} \quad \text{onde,} \quad {}^A T_B = \begin{bmatrix} {}^A R_B & {}^A P_B \\ 0 & 0 & 0 & 1 \end{bmatrix}$$

- ${}^A T_B$ é a Matriz de Transformação Homogênea que representa a posição e orientação de $\{B\}$ em relação a $\{A\}$.
- A linha inferior da equação matricial foi acrescentada de modo a resultar numa matriz ${}^A T_B$ quadrada 4x4 para a qual exista matriz inversa.

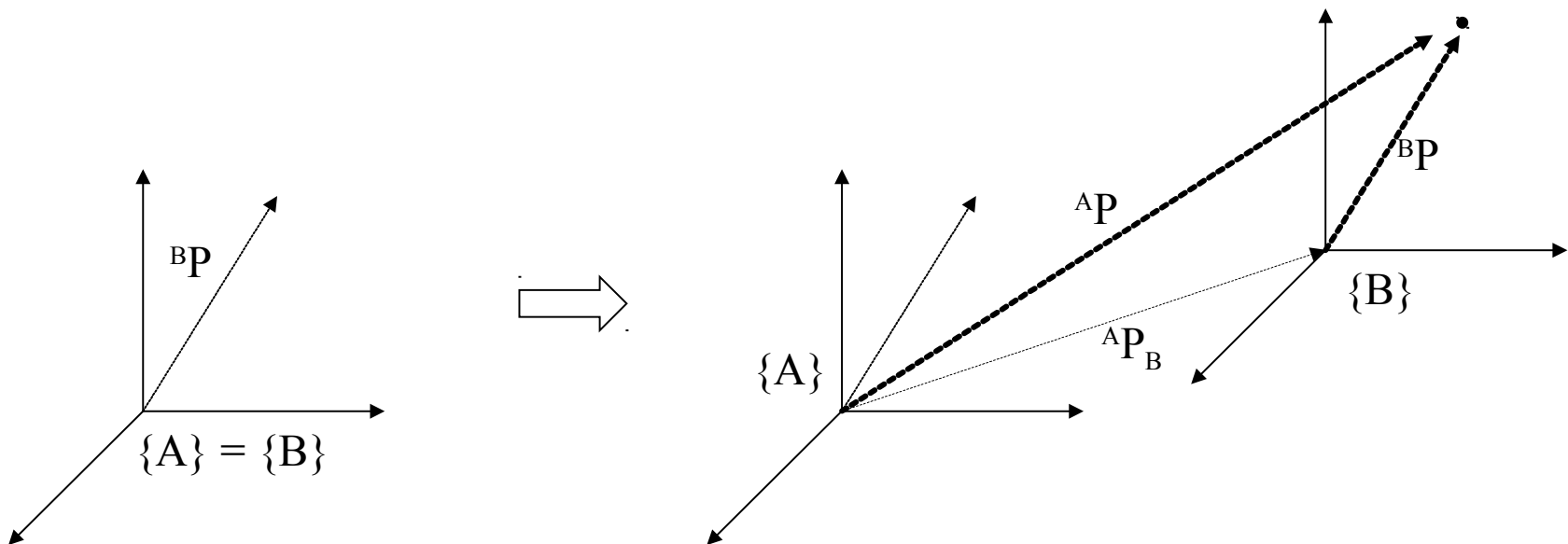
Operadores de Movimento:

- O movimento de um referencial em relação a outro pode ser descrito usando transformações homogêneas apropriadas que definam as mudanças de posição e orientação relativas ao se passar de um referencial para outro.

Operadores de Translação:

- Dado um vetor ${}^A\mathbf{P}_B$, o Operador de Translação $T({}^A\mathbf{p}_B, |{}^A\mathbf{P}_B|)$ aplicado sobre um vetor ${}^B\mathbf{P}$ o translada ao longo da direção do vetor unitário ${}^A\mathbf{p}_B$ por uma distância $|{}^A\mathbf{P}_B|$, resultando num vetor ${}^A\mathbf{P}$:
- ${}^A\mathbf{P} = T({}^A\mathbf{p}_B / |{}^A\mathbf{P}_B|, |{}^A\mathbf{P}_B|) \cdot {}^B\mathbf{P}$
- onde, sendo I a matriz identidade 3x3:
- $T({}^A\mathbf{p}_B / |{}^A\mathbf{P}_B|, |{}^A\mathbf{P}_B|) = \begin{bmatrix} I & {}^A\mathbf{P}_B \\ 0 & 0 & 0 & 1 \end{bmatrix} \Rightarrow {}^A\mathbf{P} = {}^B\mathbf{P} + {}^A\mathbf{P}_B$

Operador de Translação:



- Assim, deslocamentos de uma distância d ao longo dos eixos x , y , e z são respectivamente:

$$T(x,d) = \begin{bmatrix} 1 & 0 & 0 & d \\ 0 & 1 & 0 & 0 \\ 0 & 0 & 1 & 0 \\ 0 & 0 & 0 & 1 \end{bmatrix}$$

$$T(y,d) = \begin{bmatrix} 1 & 0 & 0 & 0 \\ 0 & 1 & 0 & d \\ 0 & 0 & 1 & 0 \\ 0 & 0 & 0 & 1 \end{bmatrix}$$

$$T(z,d) = \begin{bmatrix} 1 & 0 & 0 & 0 \\ 0 & 1 & 0 & 0 \\ 0 & 0 & 1 & d \\ 0 & 0 & 0 & 1 \end{bmatrix}$$

Operadores de Rotação:

- O Operador de Rotação $R(k, \theta)$ aplicado sobre um vetor ${}^B P$ o rotaciona em torno do vetor unitário k por um ângulo θ , resultando num vetor ${}^A P$:

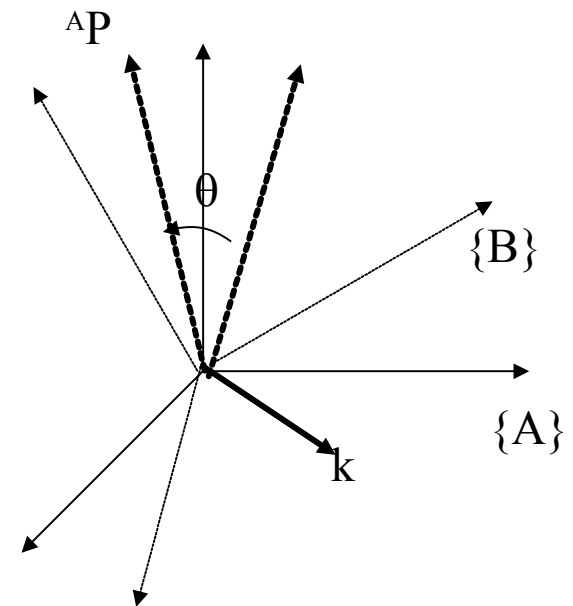
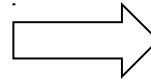
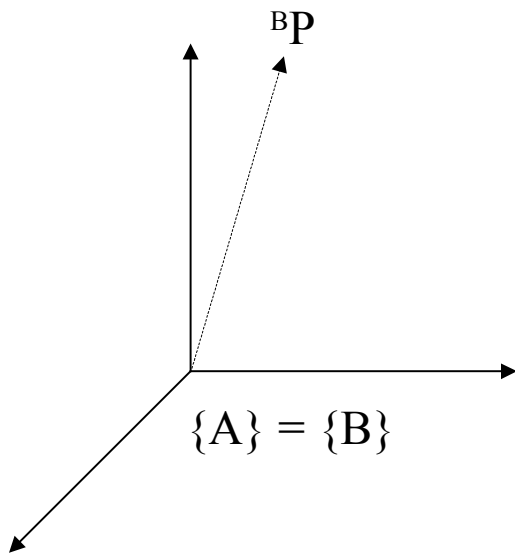
$${}^A P = R(k, \theta) \cdot {}^B P$$

$$R(k, \theta) = \begin{bmatrix} {}^A R_B & 0 \\ 0 & 0 & 0 & 1 \end{bmatrix}$$

Onde ${}^A R_B(\theta)$ = matriz de rotação 3x3 apropriada que representa a orientação de $\{B\}$ em relação a $\{A\}$ quando $\{B\}$ gira um ângulo θ em torno do vetor k .

$$\Rightarrow {}^A P = {}^A R_B \cdot {}^B P \text{ (coordenadas cartesianas)}$$

Operador de Rotação:



- Os operadores de rotação de um ângulo θ em torno dos eixos x, y, e z são:

$$R(x, \theta) = \begin{bmatrix} 1 & 0 & 0 & 0 \\ 0 & \cos(\theta) & -\sin(\theta) & 0 \\ 0 & \sin(\theta) & \cos(\theta) & 0 \\ 0 & 0 & 0 & 1 \end{bmatrix}$$

$$R(y, \theta) = \begin{bmatrix} \cos(\theta) & 0 & \sin(\theta) & 0 \\ 0 & 1 & 0 & 0 \\ -\sin(\theta) & 0 & \cos(\theta) & 0 \\ 0 & 0 & 0 & 1 \end{bmatrix}$$

$$R(z, \theta) = \begin{bmatrix} \cos(\theta) & -\sin(\theta) & 0 & 0 \\ \sin(\theta) & \cos(\theta) & 0 & 0 \\ 0 & 0 & 1 & 0 \\ 0 & 0 & 0 & 1 \end{bmatrix}$$

Operadores de Transformação:

- Um Operador de Transformação aplicado sobre um vetor ${}^B\mathbf{P}$ resulta num vetor ${}^A\mathbf{P}$, movimentado para uma localização genérica em relação à sua localização inicial. ${}^A\mathbf{P}$ = combinação de:
 - uma rotação de um ângulo θ em torno de um eixo k (representada por ${}^A\mathbf{R}_B$).
 - seguida de uma translação por uma distância $|{}^A\mathbf{P}_B|$ ao longo de um eixo ${}^A\mathbf{p}_B$:

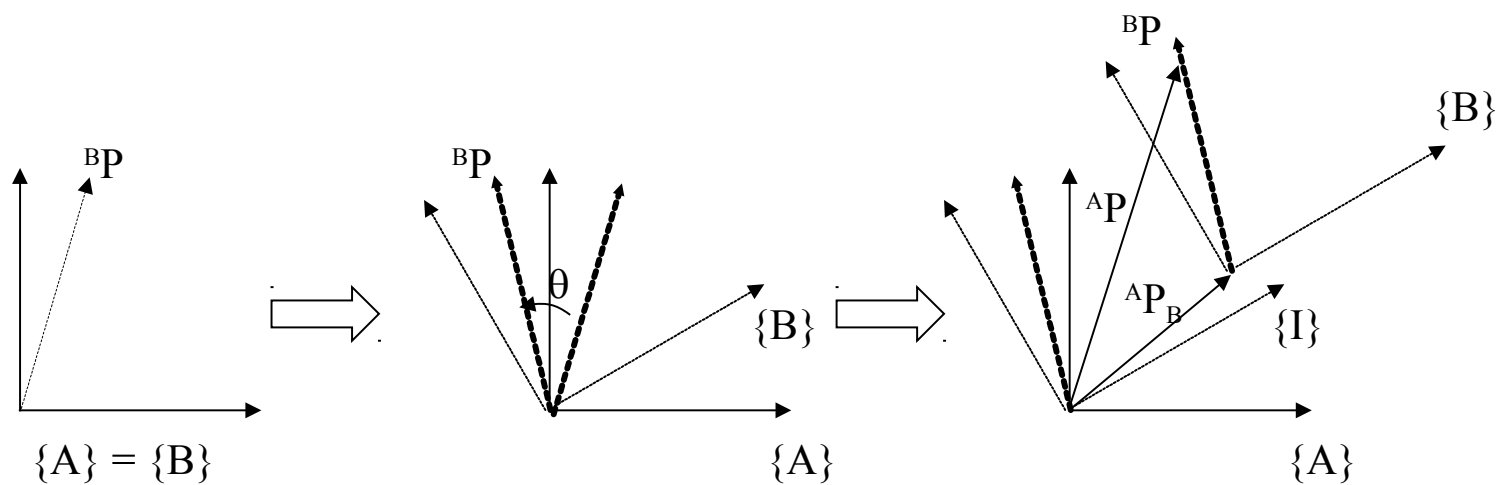
$${}^A\mathbf{P} = {}^A\mathbf{R}_B \cdot {}^B\mathbf{P} + {}^A\mathbf{P}_B \quad (\text{coordenadas cartesianas})$$

$$\Rightarrow {}^A\mathbf{P} = {}^A\mathbf{T}_B \cdot {}^B\mathbf{P} \quad (\text{coordenadas homogêneas})$$

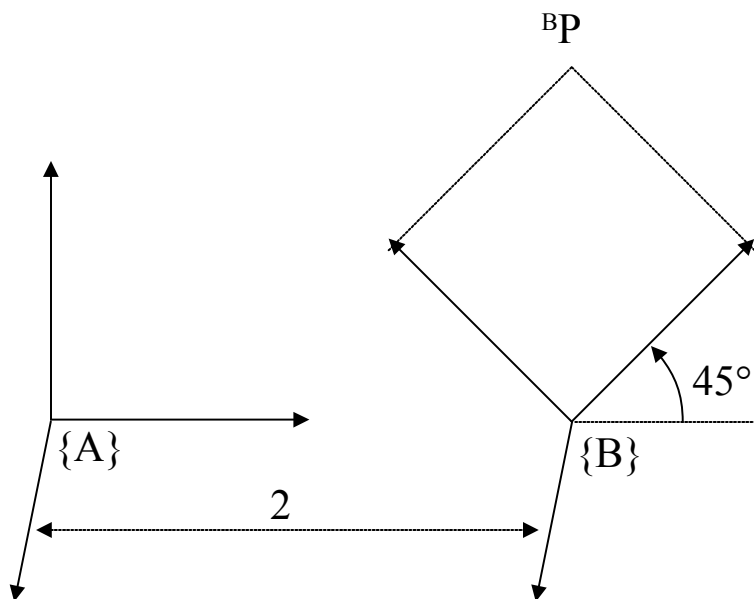
onde,

$${}^A\mathbf{T}_B = T\left({}^A\mathbf{P}_B / |{}^A\mathbf{P}_B|, |{}^A\mathbf{P}_B|\right) \cdot R(k, \theta) = \begin{bmatrix} {}^A\mathbf{R}_B & {}^A\mathbf{P}_B \\ 0 & 0 & 0 & 1 \end{bmatrix}$$

Operador de Transformação



Exemplo: Dado $\{B\}$ rotacionado 45° em torno de z_A e transladado 2 unidades ao longo de x_A , conhecendo ${}^B\mathbf{P} = [1 \ 1 \ 0]^T$, determine ${}^A\mathbf{P}$.



$${}^A\mathbf{R}_B = \begin{pmatrix} \cos(45^\circ) & -\sin(45^\circ) & 0 \\ \sin(45^\circ) & \cos(45^\circ) & 0 \\ 0 & 0 & 1 \end{pmatrix}$$

$${}^A\mathbf{P}_B = [2 \ 0 \ 0]^T$$

$$\begin{pmatrix} {}^A\mathbf{P} \\ 1 \end{pmatrix} = \begin{pmatrix} {}^A\mathbf{R}_B & {}^A\mathbf{P}_B \\ 0 \ 0 \ 0 & 1 \end{pmatrix} \begin{pmatrix} {}^B\mathbf{P} \\ 1 \end{pmatrix} = \begin{pmatrix} (1/2)^{1/2} & -(1/2)^{1/2} & 0 & 2 \\ (1/2)^{1/2} & (1/2)^{1/2} & 0 & 0 \\ 0 & 0 & 1 & 0 \\ 0 & 0 & 0 & 1 \end{pmatrix} \begin{pmatrix} 1 \\ 1 \\ 0 \\ 1 \end{pmatrix}$$

$$\Rightarrow {}^A\mathbf{P} = [2 \ (1/2)^{1/2} \ 0]^T$$

Aritmética de Transformações:

- **Transformação Composta:**

Problema: conhecendo a localização de $\{C\}$ em relação a $\{B\}$, ${}^B T_C$ e a localização de $\{B\}$ em relação a $\{A\}$, ${}^A T_B$, determinar a localização de $\{C\}$ em relação a $\{A\}$, ${}^A T_C$.

$${}^B P = {}^B T_C \cdot {}^C P,$$

$${}^A P = {}^A T_B \cdot {}^B P,$$

$${}^A P = {}^A T_C \cdot {}^C P$$

$${}^A P = {}^A T_B \cdot {}^B P = {}^A P = {}^A T_B \cdot ({}^B T_C \cdot {}^C P) = ({}^A T_B \cdot {}^B T_C) \cdot {}^C P \Rightarrow {}^A T_C = {}^A T_B \cdot {}^B T_C$$

$${}^A T_C = {}^A T_B \cdot {}^B T_C \Rightarrow {}^A T_C = \begin{bmatrix} ({}^A R_B \cdot {}^B R_C) & ({}^A P_B + {}^A R_B \cdot {}^B P_C) \\ 0 & 0 & 0 & 1 \end{bmatrix}$$

Aritmética de Transformações:

- Transformação Inversa:**

Problema: conhecendo a localização de $\{B\}$ em relação a $\{A\}$, ${}^A T_B$, determinar a localização de $\{A\}$ em relação a $\{B\}$, ${}^B T_A$.

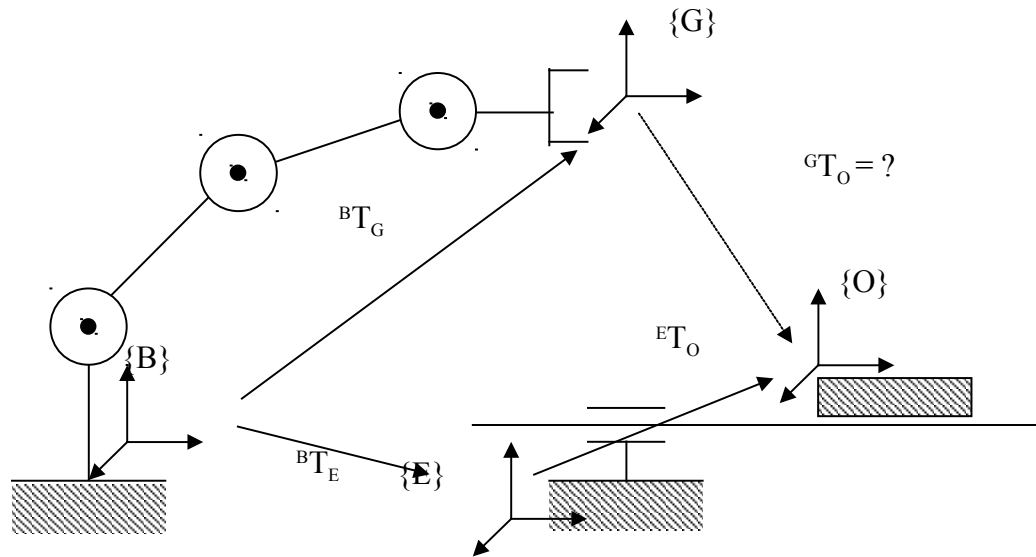
$${}^A P = {}^A R_B \cdot {}^B P + {}^A P_B \quad \Rightarrow \quad {}^B P = {}^A R_B^{-1} \cdot ({}^A P - {}^A P_B) = {}^A R_B^T \cdot {}^A P - {}^A R_B^T \cdot {}^A P_B$$

Então, o operador matricial que relaciona ${}^A P$ a ${}^B P$ é:

$${}^B T_A = {}^A T_B^{-1} = \begin{pmatrix} ({}^A R_B^T) & (-{}^A R_B^T \cdot {}^A P_B) \\ 0 \ 0 \ 0 & 1 \end{pmatrix}$$

Equações de Transformação:

- Exemplo: conhecendo ${}^B T_G$, ${}^B T_E$, ${}^E T_O$, determinar ${}^G T_O$.



- Solução: ${}^G T_O = {}^G T_B \cdot {}^B T_O = {}^G T_B \cdot ({}^B T_E \cdot {}^E T_O) = {}^B T_G^{-1} \cdot ({}^B T_E \cdot {}^E T_O)$

O Problema da Cinemática Direta:

- Determinar a localização (posição e orientação) da garra e de cada elo do manipulador a partir do valor atual das variáveis de junta (ângulos ou deslocamentos de junta).

- **Elo:** corpo rígido que define a relação geométrica entre dois eixos de juntas vizinhas na cadeia cinemática.
- **Junta:** conexão entre dois elos vizinhos na cadeia cinemática. A partir do seu eixo se dá a movimentação relativa entre dois elos vizinhos.
- **Variável da Junta i :** (q_i) grandeza que mede o deslocamento relativo entre dois elos vizinhos $\{i-1\}$ e $\{i\}$ interligados pela junta i .
 - Se a junta i for rotacional, a variável da junta θ_i é o ângulo de junta.
 - Se a junta i for prismática, a variável da junta d_i é o deslocamento de junta.
 - Um robô de N graus de liberdade possui N variáveis de junta, que são representadas pelo vetor de variáveis de junta q de dimensão $N \times 1$.

A Notação Denavit Hartenberg:

Convenção para atribuição de Referenciais de Elo:

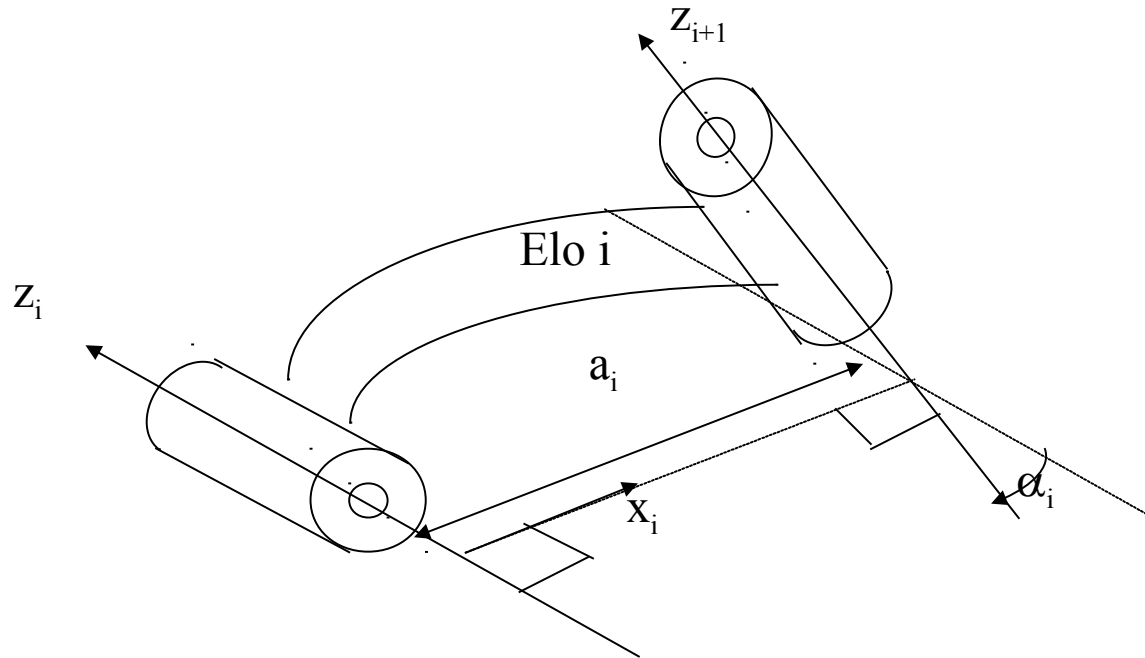
- Os elos são numerados partindo da base do robô, à qual associa-se o referencial $\{0\}$,
- As juntas correspondentes são numeradas da mesma maneira,
- O eixo z_i é coincidente com o eixo de movimento da junta i .
- A origem de $\{i\}$ é estabelecida na interseção entre o eixo z_i e a reta normal a z_i e z_{i+1} .
- O eixo x_i é estabelecido sobre a reta normal a z_i e z_{i+1} .
- O eixo y_i é definido pela regra da mão direita.

Casos especiais:

- z_i intersecta z_{i+1} : x_i sobre a reta normal ao plano formado por z_i e z_{i+1} .
- Extremidades da cadeia cinemática:
 - O referencial da base $\{0\}$ é atribuído de maneira a ser coincidente com o referencial de elo $\{1\}$ quando a variável da junta 1, q_1 , for igual a zero.
 - Ao último elo (no qual está fixa a ferramenta) são fixos dois referenciais: um na junta associada (referencial $\{N\}$) e outro na ponta da ferramenta $\{N+1\}$.
 - O referencial $\{N\}$ é atribuído de maneira a ser coincidente com o referencial de elo $\{N-1\}$ quando a variável da junta N , q_N , for igual a zero.
 - O referencial $\{N+1\}$ é posicionado na ponta da ferramenta e com a mesma orientação do referencial $\{N\}$.

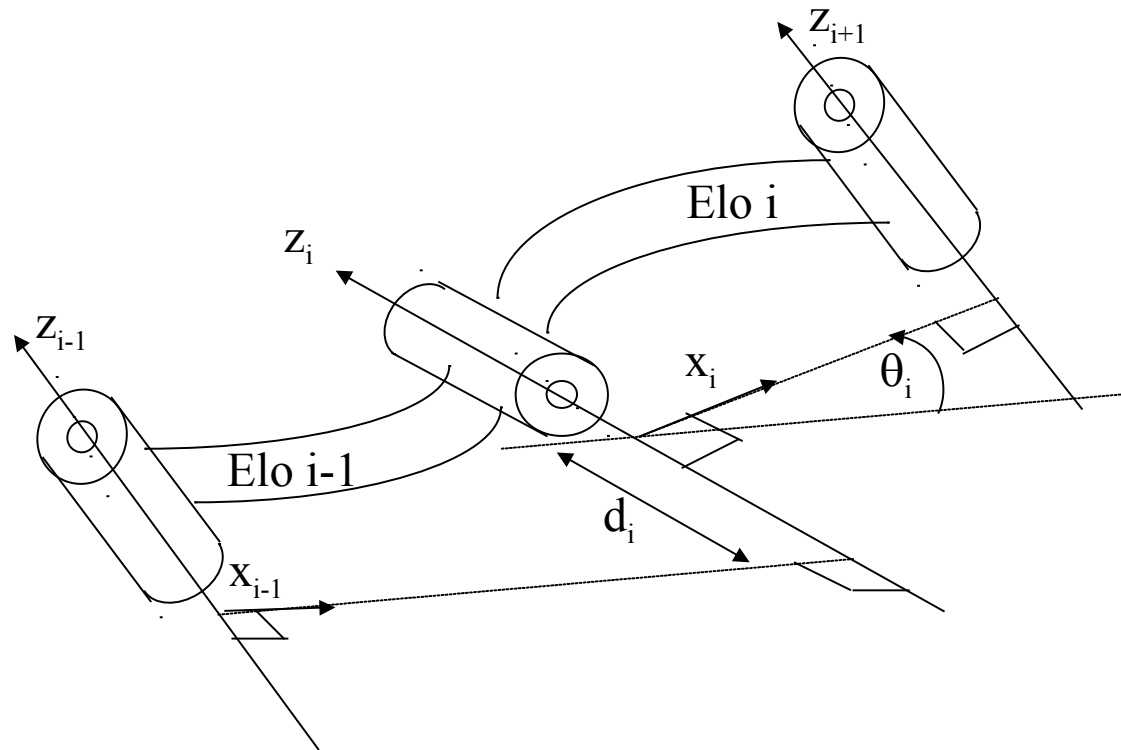
Descrição Cinemática de Elos:

- Comprimento do elo i : a_i , distância entre z_i e z_{i+1} medida ao longo do eixo x_i .
- ângulo de torção do elo i : α_i , ângulo entre z_i e z_{i+1} medido em torno do eixo x_i .



Descrição Cinemática de Juntas:

- Deslocamento da junta i: d_i , distância entre x_{i-1} e x_i medida ao longo do eixo z_i .
- Ângulo da junta i: θ_i , ângulo entre x_{i-1} e x_i medido em torno do eixo z_i .



Transformações de Elo:

$${}^{i-1}T_i = T(x_{i-1}, a_{i-1}) \cdot R(x_{i-1}, \alpha_{i-1}) \cdot T(z_i, d_i) \cdot R(z_i, \theta_i)$$

$${}^{i-1}T_i = \begin{bmatrix} {}^{i-1}R_i & {}^{i-1}P_i \\ 0 & 0 & 0 & 1 \end{bmatrix} = \begin{bmatrix} c_{\theta_i} & -s_{\theta_i} & 0 & a_{i-1} \\ \begin{pmatrix} c_{\alpha_{i-1}} & s_{\theta_i} \end{pmatrix} & \begin{pmatrix} c_{\alpha_{i-1}} & c_{\theta_i} \end{pmatrix} & \begin{pmatrix} -s_{\alpha_{i-1}} \end{pmatrix} & \begin{pmatrix} -s_{\alpha_{i-1}} \cdot d_i \end{pmatrix} \\ \begin{pmatrix} s_{\alpha_{i-1}} & s_{\theta_i} \end{pmatrix} & \begin{pmatrix} s_{\alpha_{i-1}} & c_{\theta_i} \end{pmatrix} & \begin{pmatrix} c_{\alpha_{i-1}} \end{pmatrix} & \begin{pmatrix} c_{\alpha_{i-1}} \cdot d_i \end{pmatrix} \\ 0 & 0 & 0 & 1 \end{bmatrix}$$

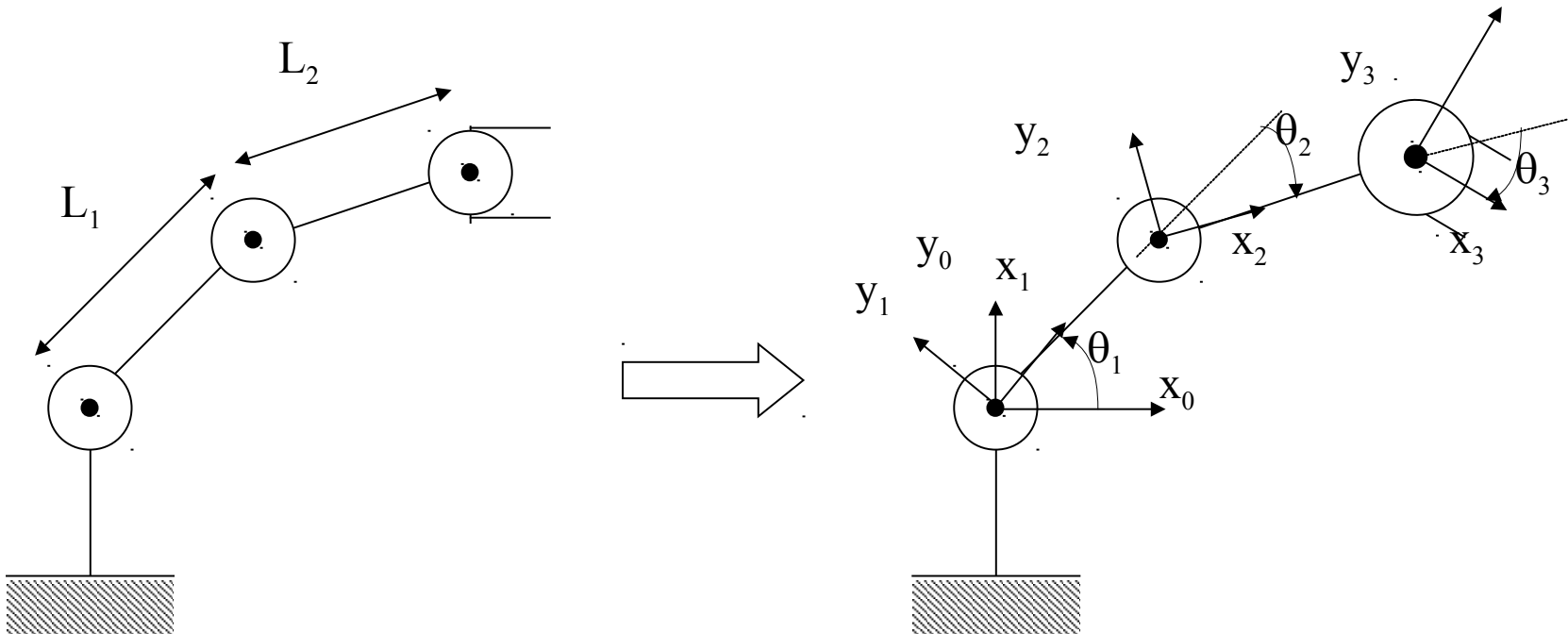
onde, $c_\theta = \cos(\theta)$, $s_\theta = \sin(\theta)$, $c_\alpha = \cos(\alpha)$, $s_\alpha = \sin(\alpha)$

Solução do Problema da Cinemática Direta:

$${}^0T_N = {}^0T_1 \cdot {}^1T_2 \cdot {}^2T_3 \cdot \dots \cdot {}^{N-2}T_{N-1} \cdot {}^{N-1}T_N$$

Exemplo de cálculo de Cinemática Direta:

Manipulador Planar Articulado de três Graus de Liberdade



Parâmetros Denavit-Hartenberg:

i	a_{i-1}	α_{i-1}	d_i	θ_i
1	0	0	0	θ_1
2	L_1	0	0	θ_2
3	L_2	0	0	θ_3

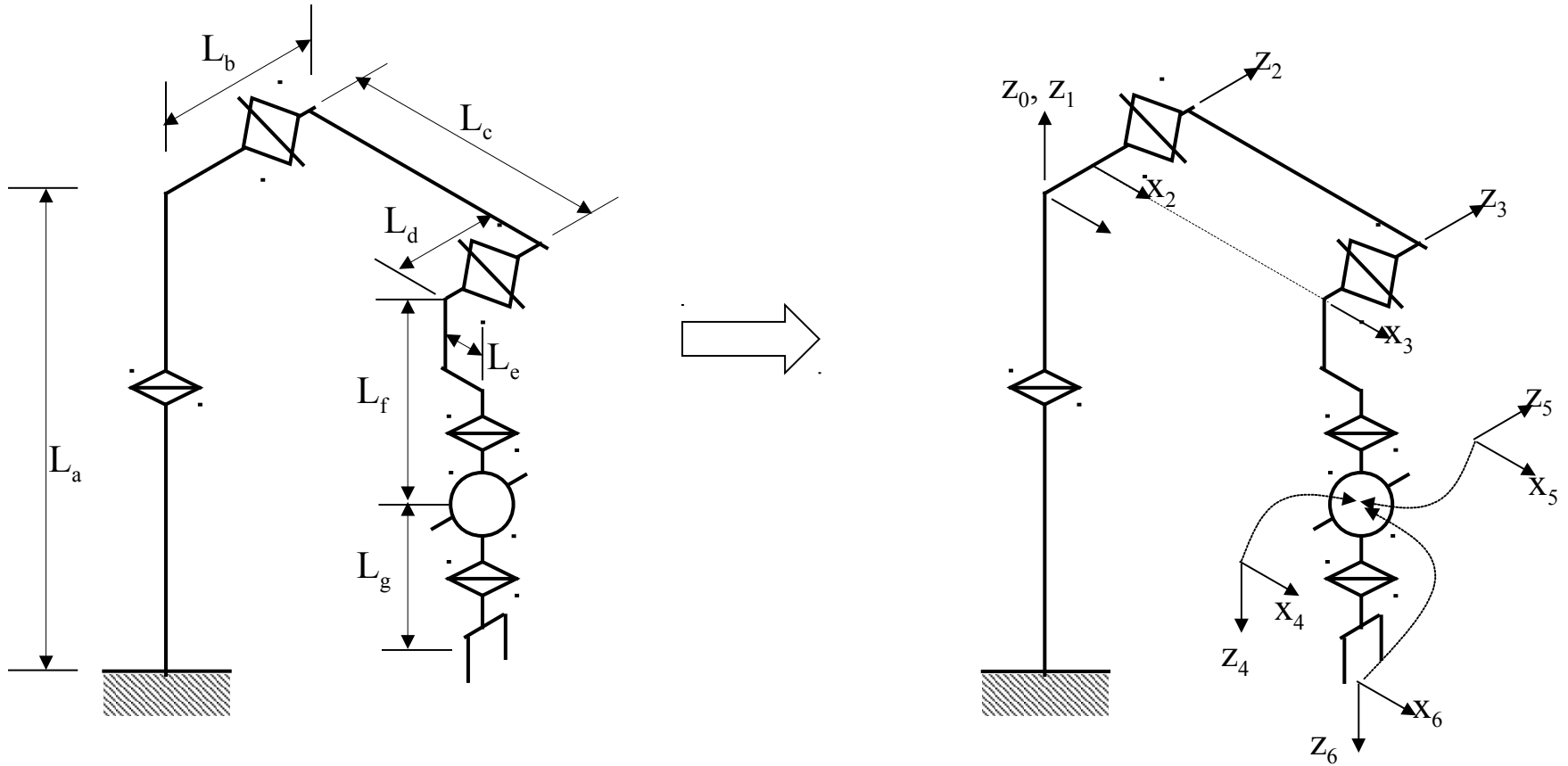
Transformações de Elo:

$${}^0T_1 = \begin{bmatrix} c_{\theta_1} & -s_{\theta_1} & 0 & 0 \\ s_{\theta_1} & c_{\theta_1} & 0 & 0 \\ 0 & 0 & 1 & 0 \\ 0 & 0 & 0 & 1 \end{bmatrix} \quad {}^1T_2 = \begin{bmatrix} c_{\theta_2} & -s_{\theta_2} & 0 & L_1 \\ s_{\theta_2} & c_{\theta_2} & 0 & 0 \\ 0 & 0 & 1 & 0 \\ 0 & 0 & 0 & 1 \end{bmatrix} \quad {}^2T_3 = \begin{bmatrix} c_{\theta_3} & -s_{\theta_3} & 0 & L_2 \\ s_{\theta_3} & c_{\theta_3} & 0 & 0 \\ 0 & 0 & 1 & 0 \\ 0 & 0 & 0 & 1 \end{bmatrix}$$

Cinemática Direta:

$${}^0T_3 = \begin{bmatrix} c_{123} & -s_{123} & 0 & L_1 c_1 + L_2 c_{12} \\ s_{123} & c_{123} & 0 & L_1 s_1 + L_2 s_{12} \\ 0 & 0 & 1 & 0 \\ 0 & 0 & 0 & 1 \end{bmatrix}$$

Exemplo: Cinemática Direta do Manipulador PUMA



Parâmetros Denavit-Hartenberg:

i	a_{i-1}	α_{i-1}	d_i	θ_i
1	0	0	0	θ_1
2	0	$-\pi/2$	$L_b - L_d$	θ_2
3	L_c	0	0	θ_3
4	L_e	$-\pi/2$	L_f	θ_4
5	0	$\pi/2$	0	θ_5
6	0	$-\pi/2$	0	θ_6

Transformações de Elo:

$${}^0T_1 = \begin{pmatrix} c\theta_1 & -s\theta_1 & 0 & 0 \\ s\theta_1 & c\theta_1 & 0 & 0 \\ 0 & 0 & 1 & 0 \\ 0 & 0 & 0 & 1 \end{pmatrix}.$$

$${}^1T_2 = \begin{pmatrix} c\theta_2 & -s\theta_2 & 0 & 0 \\ 0 & 0 & 1 & L_b - L_d \\ -s\theta_2 & -c\theta_2 & 0 & 0 \\ 0 & 0 & 0 & 1 \end{pmatrix}.$$

$${}^2T_3 = \begin{pmatrix} c\theta_3 & -s\theta_3 & 0 & L_c \\ s\theta_3 & c\theta_3 & 0 & 0 \\ 0 & 0 & 1 & 0 \\ 0 & 0 & 0 & 1 \end{pmatrix}.$$

$${}^3T_4 = \begin{pmatrix} c\theta_4 & -s\theta_4 & 0 & L_e \\ 0 & 0 & 1 & L_f \\ -s\theta_4 & -c\theta_4 & 0 & 0 \\ 0 & 0 & 0 & 1 \end{pmatrix}.$$

$${}^4T_5 = \begin{pmatrix} c\theta_5 & -s\theta_5 & 0 & 0 \\ 0 & 0 & -1 & 0 \\ s\theta_5 & \theta_5 & 0 & 0 \\ 0 & 0 & 0 & 1 \end{pmatrix}.$$

$${}^5T_6 = \begin{pmatrix} c\theta_6 & -s\theta_6 & 0 & 0 \\ 0 & 0 & 1 & 0 \\ -s\theta_6 & -c\theta_6 & 0 & 0 \\ 0 & 0 & 0 & 1 \end{pmatrix}.$$

Cinemática Direta:

$$R_{11} = c_1[c_{23}(c_4c_5c_6 - s_4s_6) - s_{23}s_5c_6] + s_1[s_4c_5c_6 + c_4s_6]$$

$$R_{12} = c_1[-c_{23}(c_4c_5s_6 + s_4c_6) + s_{23}s_5s_6] - s_1[s_4c_5s_6 - c_4c_6]$$

$$R_{13} = -c_1[c_{23}c_4s_5 + s_{23}c_5] - s_1s_4s_5$$

$$R_{21} = s_1[c_{23}(c_4c_5c_6 - s_4s_6) - s_{23}s_5c_6] - c_1[s_4c_5c_6 + c_4s_6]$$

$$R_{22} = s_1[-c_{23}(c_4c_5s_6 + s_4c_6) + s_{23}s_5s_6] + c_1[s_4c_5s_6 - c_4c_6]$$

$$R_{23} = -s_1[c_{23}c_4s_5 + s_{23}c_5] + c_1s_4s_5$$

$$R_{31} = -s_{23}(c_4c_5c_6 - s_4s_6) - c_{23}s_5c_6$$

$$R_{32} = s_{23}(c_4c_5s_6 + s_4c_6) + c_{23}s_5s_6$$

$$R_{33} = s_{23}c_4s_5 - c_{23}c_5$$

$$P_x = c_1(c_2L_c + c_{23}L_e - s_{23}L_f) - s_1(L_b - L_d)$$

$$P_y = s_1(c_2L_c + c_{23}L_e - s_{23}L_f) + c_1(L_b - L_d)$$

$$P_z = -s_2L_c - s_{23}L_e - c_{23}L_f$$

Cinemática Inversa:

O Problema da Cinemática Inversa:

- Dada uma especificação da localização (posição e orientação) que se deseja que a garra alcance, determinar o valor das variáveis de junta (ângulos ou deslocamentos de junta) necessários para levar a garra a tal localização. Ou seja, a partir de uma especificação de ${}^0T_N^*$, determinar o vetor de variáveis de junta q .

Características do Problema da Cinemática Inversa:

- 0T_N é uma função não linear transcende das N variáveis de junta:

$${}^0T_N^* = {}^0T_N(q)$$

a sua solução, diferentemente da cinemática direta, não é um problema trivial.

- 0T_N possui 16 elementos (quatro deles triviais) sendo que os nove elementos da matriz de rotação estão sujeitos a seis restrições (as suas colunas devem ser vetores unitários e ortogonais). Assim, têm-se ao todo seis equações linearmente independentes que devem ser resolvidas para as variáveis de junta.

- **Existência de soluções:**

Espaço de trabalho: conjunto de todas as localizações da ferramenta para as quais existe solução para a cinemática inversa. Podem existir especificações para ${}^0T_N^*$ para as quais não existe solução \Rightarrow fora do espaço de trabalho.

- Espaço de trabalho alcançável: Volume do espaço que pode ser alcançado com, pelo menos uma orientação.
- Espaço de trabalho manipulável: Volume do espaço de trabalho que pode ser alcançado em qualquer orientação.

- **Múltiplas Soluções:**

- Para $N = 6$ juntas \Rightarrow 6 equações e $N = 6$ incógnitas.
 - Existe um numero finito de soluções. (Até 16 soluções diferentes).
- Para $N < 6$ juntas \Rightarrow 6 equações e $N < 6$ incógnitas.
 - Não é possível alcançar objetivos gerais no espaço 3D.
 - Localizações que têm solução formam subespaço do espaço 3D.
- Para $N > 6$ juntas \Rightarrow 6 equações e $N > 6$ incógnitas
 - (manipuladores redundantes). Podem existir infinitas soluções.
 - É necessário escolher uma solução dentro do conjunto de soluções.
 - Deve-se definir algum critério de escolha:
 - Menor movimento em relação à localização atual.
 - Movimento das juntas mais leves.
 - Contorno de obstáculos.
 - etc.

Cinemática Inversa - Métodos de Solução:

•Solução Numérica:

- As equações podem ser resolvidas por métodos iterativos.
- Podem ter problemas de convergência.
- Não são muito apropriados para implementação em tempo real.

•Solução em fórmula fechada:

- As equações resolvidas algebricamente: expressão matemática computável.
- São fáceis de implementar e envolvem pouco esforço computacional.
- A cinemática inversa deve ser calculada a taxas elevadas (período de amostragem < 30 ms). Soluções fechadas são mais adequadas.
- Robôs manipuladores de 6 graus de liberdade, com três eixos se intersectando num ponto possuem solução fechada (Solução de Pieper).
- A grande maioria dos manipuladores industriais são construídos de modo a possuir solução em fórmula fechada.

Transformação da equação cinemática:

Dada equação cinemática original:

$${}^0T_6^* = {}^0T_1(q_1) \cdot {}^1T_2(q_2) \cdot \dots \cdot {}^5T_6(q_6)$$

\Rightarrow 12 equações algébricas, seis variáveis desconhecidas ($q_1, q_2, q_3, q_4, q_5, q_6$).

Transformando esta expressão:

$$[{}^0T_1(q_1) \cdot \dots \cdot {}^{i-1}T_i(q_i)]^{-1} \cdot {}^0T_6^* \cdot [{}^jT_{j+1}(q_{j+1}) \cdot \dots \cdot {}^5T_6(q_6)]^{-1} = {}^iT_{i+1}(q_{i+1}) \cdot \dots \cdot {}^{j-1}T_j(q_j)$$

obtemos outro conjunto equivalente de doze equações simultâneas para cada par (i,j) com $i < j$.

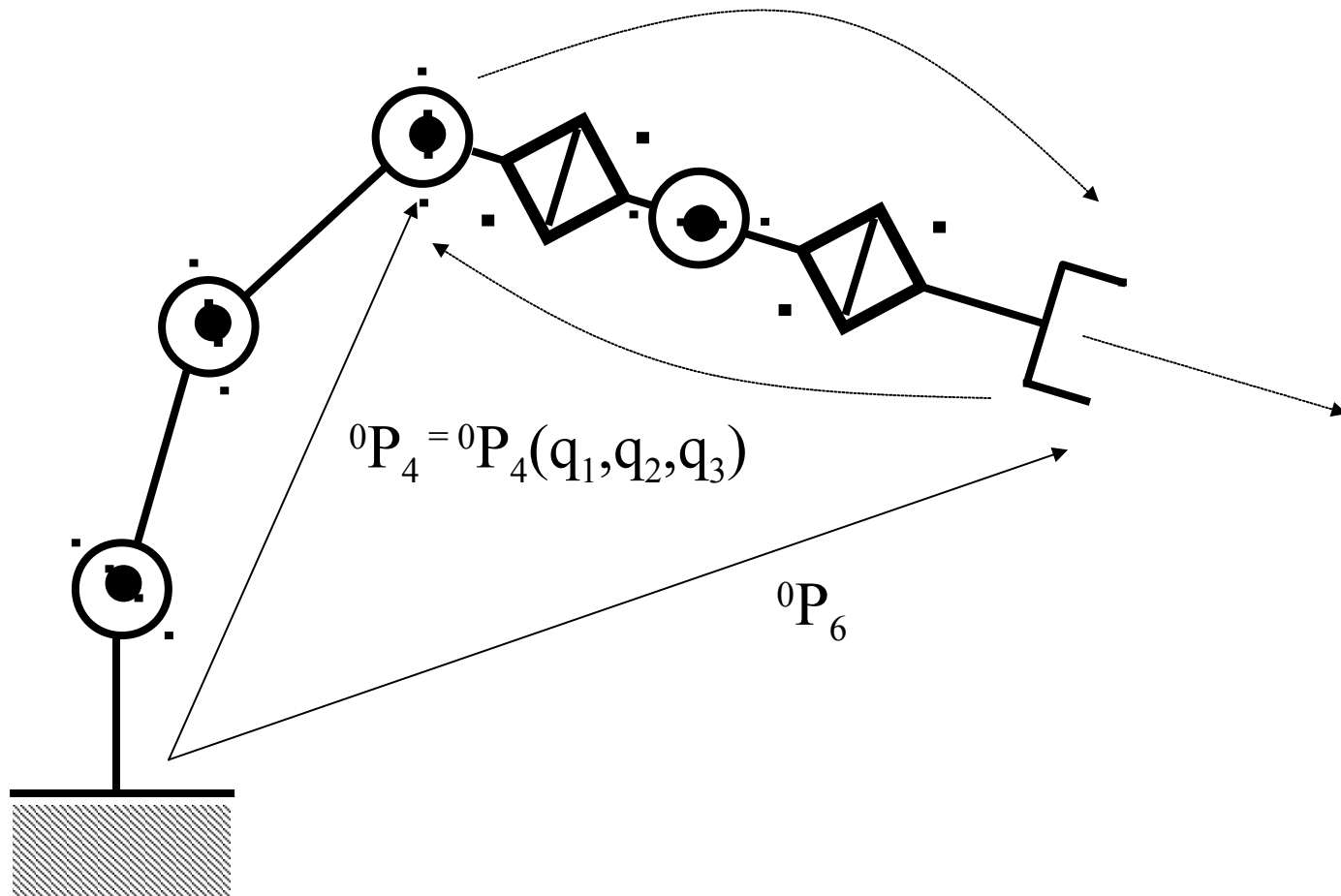
\Rightarrow Escolhendo as equações mais simples, freqüentemente é possível encontrar mais facilmente a solução.

Solução de Pieper:

- Aplicável a manipuladores de 6 juntas tendo $\{4\}$, $\{5\}$ e $\{6\}$ origem comum.
- A localização da garra determina a posição de $\{6\} \Rightarrow$ posição de $\{4\}$, 0P_4 .
- Se a orientação da garra for especificada através de um vetor de aproximação, com o ângulo de rolamento codificado em seu módulo, a origem de $\{6\}$ estará localizada sobre o mesmo.
- Conhecendo a posição de $\{6\}$, determina-se conseqüentemente a posição de $\{4\}$, visto que suas origens são coincidentes.
- ${}^0P_4 = ({}^0P_{4x}, {}^0P_{4y}, {}^0P_{4z})$ é função de q_1 , q_2 e $q_3 \Rightarrow$ podem ser determinadas por métodos algébricos e/ou geométricos a partir de 0P_4 .
- A partir de q_1 , q_2 e q_3 , é possível determinar a posição e orientação de $\{3\}$, bem como 3R_6 (por transformação da equação cinemática).
- Como 3R_6 é função apenas de q_4 , q_5 e q_6 , estas três últimas variáveis desconhecidas podem ser obtidas facilmente da equação transformada.

Solução de Pieper:

$$[{}^0T_3]^{-1} \cdot {}^0T_6 = {}^3T_4(\theta_4) \cdot {}^4T_5(\theta_5) \cdot {}^5T_6(\theta_6)$$



Exemplo de cálculo de Cinemática Inversa:

Manipulador Planar Articulado de três Graus de Liberdade

Especificação da posição e orientação da garra: (x, y, ϕ) .

$${}^0T_3 = {}^0T_3 \Rightarrow \begin{bmatrix} c_\phi & -s_\phi & 0 & x \\ s_\phi & c_\phi & 0 & y \\ 0 & 0 & 1 & 0 \\ 0 & 0 & 0 & 1 \end{bmatrix} = \begin{bmatrix} c_{123} & -s_{123} & 0 & L_1 c_1 + L_2 c_{12} \\ s_{123} & c_{123} & 0 & L_1 s_1 + L_2 s_{12} \\ 0 & 0 & 1 & 0 \\ 0 & 0 & 0 & 1 \end{bmatrix}$$

De onde obtemos 4 equações (3 independentes):

$$c_\phi = c_{123}$$

$$s_\phi = s_{123}$$

$$x = L_1 c_1 + L_2 c_{12}$$

$$y = L_1 s_1 + L_2 s_{12}$$

Por meios algébricos, as equações podem ser resolvidas para θ_1 , θ_2 e θ_3 :

$$\theta_2 = \text{atan}(s_2 / c_2)$$

$$\theta_1 = \text{atan}(y, x) - \text{atan}(L_2 \cdot s_2 / (L_1 + L_2 \cdot c_2))$$

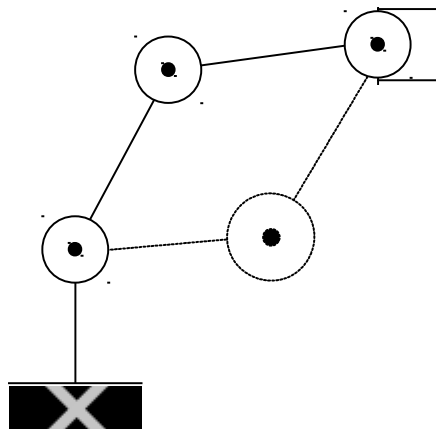
$$\theta_3 = \phi - \theta_1 - \theta_2$$

onde:

$$c_2 = \frac{x^2 + y^2 - L_1^2 - L_2^2}{2 \cdot L_1 \cdot L_2} \qquad s_2 = \pm \sqrt{1 - c_2^2}$$

Observações:

- Existência de solução: a expressão obtida deve obedecer à restrição $-1 \leq c_2 \leq 1$.
- Solução singular: se $x = y = 0$, a solução para θ_1 pode assumir qualquer valor.
- Múltiplas soluções - duas soluções são possíveis:
 - Solução $-s_2$: braço para cima.
 - Solução $+s_2$: braço para baixo.



Exemplo de cálculo de Cinemática Inversa para manipulador PUMA:

Abordagem de Pieper: θ_1 , θ_2 , θ_3 podem ser obtidos a partir da posição da garra P_x , P_y e P_z por procedimentos algébricos:

$$\theta_1 = \text{atan2}(-p_x, p_y) \pm \text{atan2}([P_x^2 + P_y^2 - (L_b - L_d)^2]^{1/2}, [L_b - L_d])$$

$$\theta_3 = \text{atan2}(-L_f, L_e) \pm \text{atan2}([L_c^2(L_e^2 + L_f^2) - K_a^2]^{1/2}, K_a)$$

$$\text{onde: } K_a = [P_x^2 + P_y^2 + P_z^2 - L_c^2 - L_e^2 - L_f^2 - (L_b - L_d)^2]/2$$

$$\theta_2 = \text{atan2}(K_b, K_c)$$

onde:

$$K_b = -(L_e s_3 + L_f c_3)(c_1 P_x + s_1 P_y) - (L_e c_3 - L_f s_3 + L_c)P_z$$

$$K_c = (L_e c_3 - L_f s_3 + L_c)(c_1 P_x + s_1 P_y) - (L_e s_3 + L_f c_3)P_z$$

A partir de θ_1 , θ_2 e θ_3 , transforma-se a equação cinemática, em equações em θ_4 , θ_5 e θ_6 :

$$[{}^0T_3]^{-1} \cdot {}^0T_6 = {}^3T_4(\theta_4) \cdot {}^4T_5(\theta_5) \cdot {}^5T_6(\theta_6)$$

$${}^3R_6 = \begin{pmatrix} r_{11} & r_{12} & r_{13} \\ r_{21} & r_{22} & r_{23} \\ r_{31} & r_{32} & r_{33} \end{pmatrix} = \begin{pmatrix} (c_4 c_5 c_6 - s_4 s_6) & (-c_4 c_5 s_6 - s_4 c_6) & (-c_4 s_5) \\ (s_5 c_6) & (-s_5 c_6) & (c_5) \\ (-s_4 c_5 c_6 - c_4 s_6) & (s_4 c_5 s_6 - c_4 c_6) & (s_4 s_5) \end{pmatrix}$$

De onde podemos obter θ_4 , θ_5 e θ_6 . Quando $r_{13} = r_{33} \neq 0$, temos:

$$\theta_4 = \text{atan2}(\pm r_{33}, \mp r_{13})$$

$$\theta_5 = \text{atan2}(\pm [r_{13}^2 + r_{33}^2]^{1/2}, r_{23})$$

$$\theta_6 = \text{atan2}(\mp r_{22}, \pm r_{21})$$

Quando $r_{13} = r_{33} = 0$, significa que $s_5 = 0$, ou seja, $c_5 = r_{23} = \pm 1$. Assim:

$$\theta_4 = \text{arbitrário.}$$

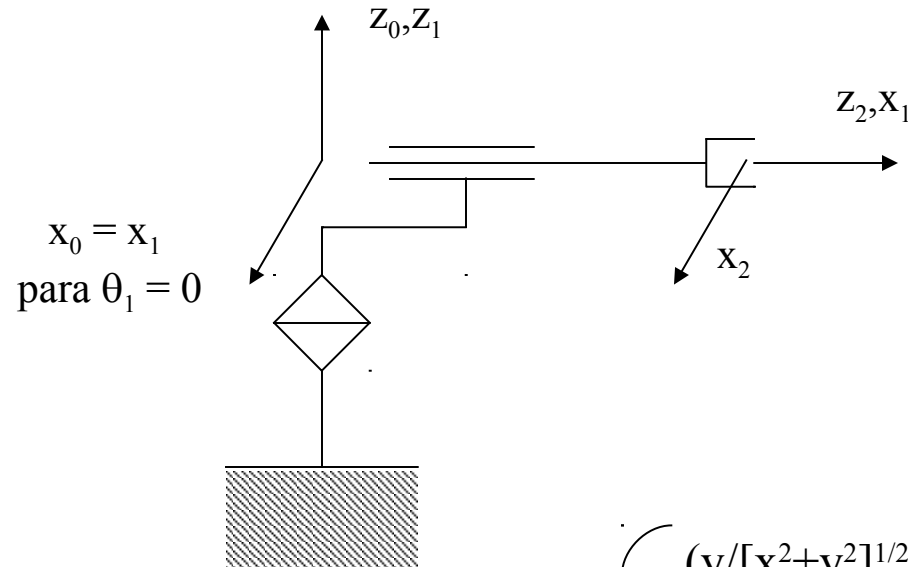
$$\theta_5 = (1 - r_{23}) \pi/2$$

$$\theta_6 = \text{atan2}(-r_{31}, -r_{32}) - r_{32} \cdot \theta_4$$

Solução para manipuladores com menos de seis juntas:

- Para $N < 6$, o espaço de trabalho é um subconjunto (subespaço) do espaço definido por todas as possíveis posições e orientações no espaço tridimensional.
- Este subespaço possui dimensão igual ao número de graus de liberdade do robô manipulador.

Exemplo: robô manipulador polar



$${}^0P_2 = [x \ y \ 0]^T \quad {}^0R_2 = [{}^0x_2 \ {}^0y_2 \ {}^0z_2] = \begin{pmatrix} (y/[x^2+y^2]^{1/2}) & 0 & (x/[x^2+y^2]^{1/2}) \\ (-x/[x^2+y^2]^{1/2}) & 0 & (y/[x^2+y^2]^{1/2}) \\ 0 & -1 & 0 \end{pmatrix}$$

- 0R_2 e 0P_2 definem um subespaço no qual a orientação da garra não é independente da sua posição, mas função de x e y .
- Para um número de juntas N menor do que seis, nem sempre é possível alcançar objetivos gerais de posição e orientação.

Procedimento quando ${}^0T_N^*$ está fora do subespaço alcançável pelo robô:

- a) Definir um novo objetivo ${}^0T_N'$ dentro do subespaço, o mais próximo possível da especificação inicial ${}^0T_N^*$.

⇒Alguma métrica deve ser utilizada para definir “o mais próximo possível”.

- b) A partir de ${}^0T_N'$ encontrar as variáveis de junta correspondentes por cinemática inversa.